

МИНИСТЕРСТВО ГЕОЛОГИИ СССР
ПРОИЗВОДСТВЕННОЕ ГЕОЛОГИЧЕСКОЕ ОБЪЕДИНЕНИЕ
ПО ПРОВЕДЕНИЮ СПЕЦИАЛЬНЫХ ГИДРОГЕОЛОГИЧЕСКИХ И
ИНЖЕНЕРНО-ГЕОЛОГИЧЕСКИХ РАБОТ
Уч. № 010

ГЕОЛОГИЧЕСКАЯ
КАРТА СССР

МАСШТАБА 1:200 000

СЕРИЯ ДЖУГДЖУРСКАЯ

Листы №-53-У, VI

Объяснительная записка

Составители: В.И.Черняевский, Г.М.Левитан
Редактор В.М.Моралев

Утверждено Научно-редакционным советом ВСЕГЕИ
22 декабря 1986 г., протокол № 54

ВВЕДЕНИЕ

СОДЕРЖАНИЕ

Стр.

Введение	5
Стратиграфия	9
Интузивные образования	35
Тектоника	56
Теоморфология	65
Полезные ископаемые	68
Подземные воды	84
Литература	86
Приложения	90

Территория листа расположена в пределах центральных частей хребтов Джугчакра и Прибрежного (Западное Приохотье) и ограничивается координатами $55^{\circ}20' - 56^{\circ}00'$, с.ш. и $136^{\circ}00' - 137^{\circ}30'$, в.д. Юго-восточной границей территории является береговая линия Охотского моря. В административном отношении центральная и северная части листа принадлежат Аян-Майскому, а его юго-западная часть — Тугуро-Чумиканскому районам Хасаровского края. Территория совершенно не обжита и относится к числу труднодоступных горно-таежных районов. Ближайший населенный пункт — рабочий центр Аян, находится в III км от северной границы листа. Пути сообщения, за исключением редких троп, пригодных для передвижения эздущего транспорта, отсутствуют. Реки для передвижения на лодках недоступны. Рельеф территории низкогорный с участками среднегорного, сильно расчлененный. Главные орографические элементы района хребты Джугчакр и Прибрежный разделены долинами рек Немуй, Улайкан, Сивакан и Лангарь. Оба хребта протягиваются в северо-восточном направлении через всю территорию. Максимальные абсолютные высоты 1699 м (хр.Джугчакр) и 1427 м (хр.Прибрежный). Преобладающие абсолютные высоты 700-1200 м. Для большей части территории хр.Джугчакр характерен сплаженный, гольмый рельеф. Северо-западный склон хребта более пологий, чем юго-восточный. Рельеф района хр.Прибрежного в основном аллюзийский. Береговая линия Охотского моря параллельна хр.Прибрежному. Береговые обрывы крути, часто вертикальные высотой от 100-300 до 600-800 м. Речная сеть принадлежит бассейнам Охотского моря и р.Алдан, разделенным хребтом Джугчакр. К первому из них относится большинство рек территории, а ко второму — р.Магей с притоками. Все реки горные, незначительные по протяженности, с быстрым течением (до 2 м/с), многочисленными перекатами и порогами, небольшими глубинами (0,1-0,8 м на перекатах, 0,8-1,5 м на плесах), невыработанным продольным профилем долин. Водопады обычно встречаются в верховых рек и в нижнем течении при впадении в море. Наиболее крупными реками являются Немуй, Магей и Мута. Они обладают более спокойным течением и лучше выработанным профилем, чем более мелкие. Питание рек про-

проходит за счет атмосферных осадков и талых снеговых вод.

Климат района, несмотря на близость моря, континентальный. Он характеризуется значительными годовыми колебаниями температур: от +35-38°C (в июле) до -40-50°C (в феврале). Помогательные среднемесечные температуры сохраняются 5 месяцев (с 28 апреля по 6 октября). За год выпадает 492-666 мм осадков, большая часть которых приходится на теплый период. Лето дождливое, с туманами. Зима ясная, малоснежная. Снег выпадает в сентябре и стапает в первые мая. Лесами в наиболее глубоких долинах и в приподнаждельных частях хребтов снег сохраняется все лето.

Лесами покрыто 35-40% территории, около 40% ее занято горно-тундровой растительностью, а 20-25% — гарями. Леса занимают долины рек, склоны гор и низкие водоразделы до высоты 300-400 м в прибрежной полосе и до 800-1000 м в удаленных от моря районах. Основными лесообразующими породами являются лиственные, бересклет, береска, ель, в долинах рек к ним примешиваются тополь, ольха, береза, ель, в долинах рек к ним примешиваются тополь, ольха, бересклет, береска. Внешне располагается пояс кустарников шириной от 50-100 м до 1-3 км, не имеющий сплошного распространения. Из кустарников преобладают кедровый стланик, береска мышиендорфа и кустарниковая ольха. Пояс горно-тундровой растительности занимает верхние части склонов и водоразделы хребтов. Растительность этого пояса представлена лишайниками, мхами, редкими кустарниками и утесен-ной или стелющейся лиственницей.

В районе проживает несколько семей связистов, обслуживающих линии телеграфно-телефонной связи Магадан — Хабаровск, который пересекает всю территорию на расстоянии 17-24 км от морского побережья, сотрудники метеостанции, расположенной в устье р.Муте, и охотники-оленеводы.

Территория характеризуется удовлетворительной обнаженностью. Наибольшее количество обнажений приурочено к нижним частям склонов долин рек, значительно реже они встречаются в приводораздельных частях склонов и на водоразделах. Морские береговые обрывы представляют собой сплошные обнажения.

Первые сведения о геологии района получены в результате работы Н.Г.Меглицкого в 1849-1852 гг. (Мельников, 1893) и К.И.Богдановича в 1895-1898 гг. (1899, 1905), которые совершили маршруты вдоль морского побережья. В 1934 г. пересечение территории по рекам Муте, Улякан, Немуй, Орого, Сивакан, Лантарь совершил А.А.Леонтович (1935г.). Плотная геологическая съемка масштаба

1:500 000 на большей части территории листа была произведена Н.К.Трифоновым в 1935-1937 гг. (1938ф). Кроме того, незначительные участки территории были закартированы на севере К.В.Антоновым в масштабе 1:500 000 (1938ф) и А.А.Леонтовичем, Н.А.Раковым, В.П.Ильиным в масштабе 1:200 000 (1940ф), а на юге, также в масштабе 1:200 000, Л.И.Красным и Ю.Ф.Чемековым (1952ф). В результате этих работ наметилась определенная металлогеническая специализация интрузивных комплексов в районе хребтов Джульбар и Прибрежного. Было установлено, что рудообразование никеля, титана и железометаллическая, мелко-молибденовая и железорудная минерализация — с мезозойскими интрузиями.

Большое значение для познания геологического строения района хр.Прибрежного имели работы Л.И.Красного. Им была подробно изучена и описана под названием Желонской свиты мощная толща мезозойских осадочно-пуканогенных образований, выполняющая северо-восточную часть улусского наложенного прогиба. Л.И.Красный расчленил свиту на три подсвиты: нижнюю — осадочно-тургенную, среднюю — тургенную и верхнюю — левоную. В результате последующих работ (Тольденберг, Зубков, Красный, Черняевский, 1958; 1960, 1961ф, 1962) средняя и верхняя подсвиты были объединены в одну верхнюю (букиногенную) подсвиту.

В настоящее время Желонская свита разделена на две свиты (Черняевский, Левитан, 1965ф). Название Желонской свиты сохранено за более мощной нижней (осадочно-тургенной) подсвитой, а верхняя (вулканогенная) подсвита отнесена к Немульманской свите (выделена Н.А.Ставцевым в 1961 г.) нижнего мела, имеющей широкое распространение к северо-западу от территории листа. Основанием для такого разделения являются различия в вещественном составе подсвит, наличие размыва и углового несогласия между ними и их большая мощность (1300 и 900-1000 м). К низам Желонской свиты Л.И.Красным (1962ф, 1960) была отнесена под названием Учкавайской фации (фации осадочно-тургенных пород) конгломератовая толща, развитая в бассейне рек Джелон, Бонгай и Малая Бонгай (Большая и Малая Учкавай на топографических картах до 1955 г.). Но еще в 1851 г. Н.Г.Меглицкий (Мельников, 1893) и в 1937 г. Н.К.Трифонов (1938ф) правильно указывали на то, что конгломераты встречающиеся в районе Прибрежного хребта, залегают стратиграфически выше всех известных здесь осадочно-пуканогенных образований среднего состава. Это подтверждено также работами 1959 г. (Тольденберг, 1960) и 1960-1964 гг. (Черняевский, 1961ф; 1965ф).

В основу геологической карты и карты полезных ископаемых положены материалы геологической съемки и поисков масштаба 1:200 000, проведенных партией 1021 Второго ГГУ в 1963–1964 гг. (Черняевский, Левинан и др., 1965ф). Эти работы производились с использованием материалов аэромагнитной съемки масштаба 1:200 000 (Херувимова, 1957ф) и аэрофотоснимков масштаба 1:60 000 – 1:70 000. Аэромагнитной съемкой, судя по карте грави-ков да и схеме и интерпретации, в пределах описываемой террито-рии выявлено всего три незначительные аномалии над интузивными массивами кварцевых диоритов и гранодиоритов. Характеристика ме-таморфических и интузивных образований нижнего протерозоя дополнена данными тематических исследований, проводившихся как на ча-сти территории листа, так и за его пределами в 1947–1948 гг. А.П.Лебедевым и Н.В.Цапловым (1957), а также в 1956–1959 гг. В.Н.Мошкеним (1956ф, 1958, 1959ф, 1960). При составлении геологи-ческой карты и объяснительной записки к ней учтены результаты ис-следований, проведенных в 1951–1960 гг. на сопредельных с листом территориях (Гольденберг, Буоков, Красный, Черняевский).

При составлении геологической карты листа выявились следую-щие связи с соседними листами:

1. На севере В.И.Гольденбергом (1958ф, 1959ф) и на юге В.Ф.Зубковым (1962), в районах левобережья р.Малей и между реками Немуй-Киль, вулканогенные образования отнесены к нижней подсвите матейской свиты условно нижнемелового возраста, среди пород кото-рой широкое распространение имеют кислые эфузивы (липаратовые порфиты, фельзаки-порфиды и фельзиты). На исследованной терри-тории в указанных районах закартированы андезитовые порфириты, их туфоловы, туфы и туфобрекции немуйской свиты нижнего мела.
2. Вблизи западной границы листа, на соседней территории, в районе правобережья р.Бетара закартированы платигнейсы куманской свиты нижнего протерозоя. Однако они, очевидно, выклиниваются не доходя до границы описываемого района, так как геологическими маршрутами на этом участке были обнаружены только выходы гнейсо-видных плагиогранитов.
3. На соседней территории к западу выделены конгломераты акариканской свиты, первым возраст которой практически ничем не обоснован. В районе правобережья р.Кильдя эти конгломераты не-посредственно протягиваются на исследованную территорию, где за-легают на породах нижнего мела (немуйская свита). Следователь-но, эти породы не могут быть древнее нижнего мела и отнесены

СТРАТИГРАФИЯ

В геологическом строении территории листа принимают участие протерозайские, мезозойские и палеогеновые (?) образования, а также рыхлые четвертичные отложения. Метаморфические породы про-терозайского возраста пользуются ограниченным распространением. Широкое развитие имеют мезозойские толщи осадочно-туфогенных и вулканогенных пород. Палеогеновые (?) андезиты слагают единичные, незначительные по площади участки в северо-западной части листа. Отложения четвертичной системы представлены склоновыми, речными, ледниковыми и морскими генетическими типами.

НИЖНИЙ ПРОТЕРОЗОЙ

Лавлинская свита (Pt₁ /v?)

Наиболее древние образования района представлены толщей ме-таморфических пород, имеющей незначительное распространение. Она

сейчас р.Меджай, на территории соседнего листа отнесены к нижнему мелу. Новые определения абсолютного возраста из этого массива позволили датировать слагающие его породы верхним мелом.

5. В бассейне р.Меджай, на соседней территории ледниковые от-ложения в долинах рек связываются с покровным оледенением, имев-шим место, вероятно, в среднечетвертичное время (алданское оле-денение). На территории листа ледниковые отложения связываются с последним (верхнечетвертичным) долинным оледенением. Это подтверждается рядом спорово-пыльцевых спектров из верхнечетвертичных аллювиальных отложений, которые характеризуют очень холодный климат, способствующий развитию лесотундровых ландша-тов, т.е. отражают ледниковые условия.

6. Разрывы к юго-западу от изученной площади конгломераты отнесены к нижней джелонской свите. Однако эти породы простираются в исследованный район, где с угловым несогласием и размы-вом залегают на породах верхней юры – нижнего мела и нижнего ме-ла (джелонская и немуйская свиты) и на этом основании отно-сятся к мериконской свите нижнего мела.

полосчатой, местами пянистой текстурой. Они состоят из кварца с примесью до 5% альбита, калий-натриевого полевого шпата и биотита.

Мраморы — массивные, полосчатые, тонколинзовидно-полосчатые, реже сланцеватые породы с мелкозернистой гранобластовой структурой. Состав: кальцит — 95%, кварц, шпирт, мусковит — до 5%, полевые шпаты — доли процента.

Силиманитовые сланцы состоят (в %) из птилоклаза-олигоклаза (65), силиманита-Фироромита (30), клинопизита (5) и единичных листочек в мусковите. Структура лепидоброгранобластовая, текстура полосчатая.

Кварц-хлоритовые, хлорит-кварцевые, хлорит-полевошпат-кварцевые, хлорит-птилоклазовые сланцы состоят (в %) из альбит-олигоклаза № 5-28 (10-60), хлорита (от 10-15 до 40-50), кварца (0-45), эпидота, клинопизита, цимзита (0-20), редко с примесью актинолита и граната. Породы отличаются друг от друга лишь количественными соотношениями указанных минералов. Структура гранобластовая, гранолепидобластовая, текстура — сланцеватая, полосчатая, реже тонколинзовидно-полосчатая.

Мусковит-альбит-кварцевые сланцы состоят (в %) из кварца (64), альбита (20), мусковита (9), эпидота (6), сфена (1). Структура лепидобронобластовая, редко порфиробластовая, текстура полосчатая и тонколинзовидно-полосчатая.

Эпидот-актинолитовые сланцы состоят (в %) из актинолита (71), клинопизита (23), хлорита (4) и разложенного птилоклаза (2).

Структура нематобластовая, текстура полосчатая.

Метаморфические породы толщи являются парапородами, метаморфизованными в условиях амфиболитовой фации. Диафториты, образовались как за счет метаморфических, так и за счет математических пород междистовых инъекций, в результате неоднократного повторного динамотермального метаморфизма в зоне глубинного разлома, протягивающегося вдоль подошвы юго-восточных склонов Шкунчура. Для всех пород толши характерны довольно сильный катаклиз, размывание и рассланцевание. Первоначальный облик метаморфической толщи значительно изменен наложенными явлениями диафтореза и поэтому ее трудно сопоставлять с какими-либо определенными свитами нижнего протерозоя, разбитыми в пределах Становика — Дугджа-Ригории листа) В.Н.Можкиным (1959, 1959ф). На этом основании мегатоморфическая толща условно отнесена к лавлинской свите.

Общая видимая мощность пород лавлинской свиты (?) в бассейне нижнего течения р.Рого составляет около 1500 м. В юго-западном направлении к р.Толготкан она уменьшается до 1200 м.

Верхним возрастным пределом лавлинской свиты (?) является абсолютный возраст анертозитов хр.Джандыр, прорвавших ее (басейн венного течения р.Ум), равный 2250±150 млн. лет (Тутаринов, Студникова, Зыков, 1965). Нижний возрастной предел не ясен. Возраст пород лавлинской свиты, имеющей широкое распространение к западу от района, считается нижнепротерозойским (Можкин, 1958, 1959, Зубков, 1962).

М Е 3 0 3 0 И С К А Й Г Р У П П А

Мезозойские образования представлены мощным комплексом осадочно-вулканогенных пород среднего и кислого состава. Нижние части разреза характеризуются средним составом вулканогенных пород, верхние — представлены кислыми андезитами. По возрасту они относятся к верхней юре — нижнему мелу, нижнему и верхнему мелу.

ЮРСКАЯ СИСТЕМА, ВЕРХНИЙ ОТДЕЛ — МЕЛОВАЯ СИСТЕМА, НИЖНИЙ ОТДЕЛ

Джелонская свита (J₃-C₁d⁰)

Осадочно-тuffогенные образования джелонской свиты (нижний подсвита джелонской свиты в понимании Л.И.Красного) залегают в основании толщи мезозойского возраста, слагающих большую часть исследованного района. Они широко развиты в бассейнах нижнего течения рек Альчев, Немуй и Девакакан^Х, где выходят в ядра антиклинальных складок. В других местах разрозненные и сравнительно небольшие выходы пород приурочены к глубоко врезанным долинам рек (Чукчна-Макит, Найдица-Макит, Джандак, Катыннак, Сельбак, Кильдай, Укай и др.). Кроме того, породами джелонской свиты покрыты посмостно сложены береговые обрывы, протягивающиеся сплошной полосой вдоль побережья Охотского моря.

^X/На карте р.Девакакан ошибочно названа р.Девакакан.

Джелонская свита с резким угловым и стратиграфическим несогласием залегает на породах нижнего протерозоя, развитых в бассейнах рек Немуй, Етара, Толгокинан, Уайкан. Породы свиты почти повсеместно перекрыты, как правило, с размывом средними афузивами немуйской свиты нижнего мела. В юго-западной части территории свита с угловым и стратиграфическим несогласием перекрыта континентальными мериконской свиты нижнемелового возраста, а в северо-восточном районе р. Немуй, районе м. Укой, к западу от м. Отличительного и ряде других мест — кислыми эфузивами верхнего мела. Свита прорвана интрузиями ранне- и позднемелового возраста.

Породы свиты представлены разнообломочными туфами и туфобрекчиями среднего состава, реже туфопесчаниками, туфоалевролитами, туфоглинистами, песчаниками и утилисто-глинистыми сланцами. Характерными особенностями отложений свиты являются хорошо выраженная слоистость, наличие пачек тонкослоистых туфов, нередко сохранивших в своем составе прослой туфопесчаников, туфоалевролитов, туфоглинистов, песчаников и утилисто-глинистых сланцев, широкое распространение пепловых туфов, отсутствие лавовых покровов, обогащенность некоторых пластов растительным детритом плохой сохранности, среди которого изредка встречаются вполне определенные растительные остатки. Итога в породах встречаются окаменелые и обугленные остатки древесных спилов и ветвей. Мощность пластов туфов и туфобрекчий колеблется от 1-5 до 20-80 м и может достигать 100-150 м, редко 300 м. Мощность пластов остальных пород обычно не превышает 2-5 м. Мощность тонкослоистых пачек колеблется от 5-10 до 30 м, редко до 70 м, а мощность прослоев в них — от 1-5 до 25-30 см, реже до 0,6-0,8 м и очень редко до 2 м. Пласти и пачки нередко имеют линзообразный характер. В молчих пластах туфов часто встречаются линзообразные участки туфобрекций, а в молчих пластиах туфобрекчий встречаются аналогичные участки туфов. Переходы в этих случаях между туфами и туфобрекчиями постепенные. Иногда в туфах, туфопесчаниках и туфобрекчиях наблюдается сложная косая слоистость, подобная на косую слоистость прибрежно-морских и озерных отложений. Кроме того, места (к югу от устья р. Немуй) наблюдается диагональная косая слоистость, напоминающая слоистость отложений временных потоков и дельт. Переслаивание пород в тонкослоистых пачках внешне напоминает слоистость фишиодных толщ.

Нижние горизонты джелонской свиты обнажены в основном по долине р. Немуй к западу и юго-западу от устья р. Толгокинан, а также в бассейне последней, где залегают на породах нижнего протерозоя. Они представлены мелкослоистыми туфами, туфопесчаниками и туфобрекчиями (обломки 1-3 см) темно-серого цвета, местами с зеленым оттенком. Средняя часть разреза представлена туфами и туфобрекчиями, переслаивающимися с тонкослоистыми фриделлобонными пачками туфов, туфопесчаников, туфоалевролитов, туфоглинистов, песчаников и утилисто-глинистых сланцев. По простиранию в северо-восточном направлении от м. Эскан количество таких пачек в разрезе уменьшается и они постепенно исчезают. К северо-востоку от м. Отличительного тонкослоистые пачки с утилисто-глинистыми сланцами не встречаются. Туфобрекции этой части свиты нередко отличаются крупными (10-20 до 40 см) размерами обломков. В некоторых разностях туфобрекций встречено до 10-15% окатанного и полукатанного материала. Строение верхней части свиты аналогично средней, но без тонкослоистых пачек с утилисто-глинистыми сланцами. Средняя и верхняя части свиты пользуются широким распространением в бассейне нижнего течения р. Немуй и в прибрежной полосе Охотского моря. В связи с разобщенностью обнажений составить полный последний разрез джелонской свиты невозможно. Строение середин и верхов может характеризовать частный стратиграфический разрез, составленный к северо-северо-востоку от устья р. Тамгуй, где в морских береговых обрывах обнажаются (снизу вверх):

1. Туфобрекции (обломки от 2-3 до 5-10, редко 20-40 см) с пепловым цементом зеленовато-серого цвета. Мощность варьирует	45 м
2. Тонкослоистая пачка разнообломочных туфов	2 "
3. Туфы пепловые, миндалекаменные, зелено-серого цвета	60 "
4. Тонкослоистая пачка разнообломочных туфов, в том числе и пепловых	70 "
5. Туфобрекции, аналогичные слою 1	125 "
6. Пачка переслаивающихся разнообломочных туфов, в том числе пепловых, и туфобрекций	460 "
7. Туфобрекции (обломки 0,1-0,2 см) с единичными среднеразмерными включениями галькой	25 "
8. Туфы средне- до крупнообломочных с линзами тонкообломочных миндалекаменных туфов	5 "
9. Пачка переслаивающихся крупнообломочных и пепловых миндалекаменных туфов	3 "
10. Туфы, аналогичные слою 8	75 "
II. Пачка, аналогичная пачке 9	5 "

Общая мощность по разрезу 875 м. Самая верхняя часть разреза обнажена слабо. В 0,4 км к северо-западу от устья р. Тамгуй

отложения свиты перекрываются нижнечетовыми эйдузиями.

Туфы представляют собой разнообразные по составу (андезито-бые, дациевые, смешанные) породы от тонко- до крупнообломочных с кластическими структурами. Обломочный материал представлен обломками кристаллов плагиоклаза (олигокла-андезин, андезин) и кварца, а также андезитовыми и дациевыми порфиритами, туфами, разложенным вулканическим стеклом, реже фельзитами. Размеры обломков колеблются от 0,01-0,09 мм и менее до 0,13-0,75, реже до 1,5-2 мм.

Туфобрекции – массивные, грубослоистые породы с обломочным материалом размерами от 0,5-2 до 10-20 см, реже до 40 см. Обломки представлены в основном разнообломочными и пелевыми туфами, туфобрекциями, редко туфалевролитами. Связующая масса (30-60%) состоит из туфов, реже туфобрекций с размерами обломков 0,5-0,8 см. В некоторых пластах туфобрекций встречаются до 10-15% окатанного и полуокатанного материала.

Туфлесчники содержат до 30-40% угловатого, полуокатанного, реже окатанного и остроугольного обломочного материала. Последний представлен кварцем, полевыми шпатами, тонкосломочными и пелевыми туфами, разложенным вулканическим стеклом и микрофельзитами. Встречаются единичные листочки мусcovита и биотита. Цемент – бальный, соприкоснувшись и пор, пелитовый с примесью пепла и чешуек серпилита или кремнисто-карбонатный. Структура псаммитовая, псаммито-алевритовая. Туфалевролиты отличаются от туфлесчников меньшими размерами обломочного материала.

Туфоарнеллы состоят из глинистого материала с примесью до 20-25% остроугольных и угловатых обломков плагиоклаза и кварца размером 0,01-0,02 мм и менее.

Песчаники представляют собой массивные породы с неравномерно-зернистой псаммитовой структурой и базальным алевритовым цементом. Обломки – окатанное и полуокатанное – состоят из кварца, шапоклаза, решетчатого микроклина, андезитовых порфиритов, тонко-обломочных и пелевых туфов, кварцитов.

Углисто-глинистые сланцы, сильно выветрене, тонкосланцеватые, состоят из тонких (не более 0,5 см) чередующихся углистоглинистых и глинистых слоев. В сланцах нередко встречаются тонкие (до 0,5-1 см) линзообразные прослойки каменного угля черного цвета длиной до 50 см.

Общая мощность джелонской свиты не менее 1300 м.

На площади листа в долинах рек Укай и Найдиля-Макит В.И. Чернявским и К.С. Васильевым в верхней части джелонской свиты

были собраны растительные остатки, представленные *Equisetites sp.*, *Taeniopteris ar.*, *Czekanowskia rigida* Heer., *Phoenixopsis angustifolia* Heer., *Pseudotorella* sp., *Podozamites* sp.

Кроме того, в 1960 г. в морских береговых обрывах на сменной к юго-западу территории В.И. Чернявским и др. (1961) были собраны остатки *Rhipidophyllum ex gr. pohrenskii* Heer., *Cladophlebis williamsii* Brong., *C. aff. halibutensis* (Lett H.) Sew., *Nidozamites angustifolius* (Eichw.) Heer., *Schizolepis* sp. Определенный флору В.А. Вахрамеев отмечает, что установленные виды имеют широкое вертикальное распространение, встречающиеся от средней и нижней юры до нижнего мела включительно. Известно, что для средней и верхней юры (до нижневолжского яруса включительно) Икутии и, в частности, Южно-Алданского бассейна характерно широкое распространение *Paracerasia diamesis* Sew. Отсутствие этой формы в сорока из джелонской свиты является косвенным признаком, который может указывать на возраст более молодой, чем нижневолжский. Следовательно Такеаги Осаки имеющийся в сорока Л.И. Красного и Ю.Ф. Чемекова (Красный, 1960) из джелонской свиты, известен в нижнемеловых отложениях Японии. Исходя из этого, В.А. Вахрамеев приходит к выводу, что возраст джелонской свиты следует датировать как верхи верхней юры – низы нижнего мела.

МЕДОВАЯ СИСТЕМА

Нижний отдел Немуйканская свита (Стрн)

В исследованном районе среди толщ мезозойского возраста наименее распространены нижнемеловые вулканические образования немуйканской свиты. Породы свиты слагают значительную часть хр. Прибрежного и площадь на северо-западе по левобережью р. Магей. В пределах хр. Джуликур эти породы развиты на его юго-западных склонах. Немуйканская свита (верхняя подсвита джелонской свиты в понимании Л.И. Красного) с размывом и угловым несогласием залегает на всех джелонских породах, развитых в районе работ. На городах джелонской свиты она также залегает с несогласием и размывом. Граница между свитами очень неровная, местами с карманообразными

заливами. Это хорошо видно в береговых обрывах района М.Борисова и между мысами Борисова и Отличительным. Породы свиты с угловым несогласием перекрываются континентальными мериконской свиты нижнего мела и кислыми эфузивами верхнего мела, а по левобережью р.Магей – андезитами меваачанской свиты палеогена (?). Немуйанская свита прорвана меловыми интрузиями.

Свита сложена андезитами и дацитами порфиритами, их туфовыми и турами, туфобрекчиями, лавобрекчиями. В отличие от нележащей джелонской свиты в немуйянской свите отсутствуют начальные тонкого переслаивания туфов, туфолесчаников, туфаргиллитов, туфоалевролитов, песчаников и ульисто-глинистых сланцев, исключенные растительные остатки, очень редко встречаются тепловые туфы и широко развиты покровы андезитовых и дацитовых порфиритов.

Иногда породы немуйянской свиты имеют миндалекаменный облик. Породы и миндалины округлой и неправильной формы размером от долей миллиметра до 1-2 см в поперечнике, обычно выполнены хлоритом, реже кальцитом. Разрез немуйянской свиты характеризуется трубыми чередованиями эфузивных покровов мощностью от 1-5 до 20-100 м, редко до 150-400 м (бассейн р.Немуй) и пачек пирокластических пород мощностью от 5-20 до 200-300 м. Пласти и покровы нередко быстро выклиниваются по простиранию и отличаются большим непостоянством состава. Последнее особенно характерно для туфов и туфобрекчий. Какой-либо определенной закономерности в чередовании и стратиграфической приуроченности эфузивных и пирокластических пород не отмечается. Так, например, в бассейне р.Уай, в районе нижнего течения рек Алунье и Толгоякчан и в некоторых других местах низы свиты сложены преимущественно порфиритами. В бассейнах рек Этукал, Тамгай, Мутэ, по правобережью р.Киль туры и порфириты встречаются в разных количествах почти по всему разрезу. Верхняя часть свиты также местами сложена порфиритами, иногда – пирокластическими породами. Не наблюдается закономерностей в распределении лав и туфов по основности. Преобладают породы андезитового состава. Дацитовые порфириты, их туры и туфолавы разбиты в бассейне р.Уайкан, встречаются в верхнем течении р.Экит и ряде других мест. Андезитовые и дацитовые порфириты свиты об разуют не только покровы, но встречаются также в виде отдельных некрупных леков и субэфузивных даек (корни лавовых покровов). Если среди порфиритов и туфов немуйянской свиты при сравнительно плохой обнаженности эта обстановка трудно заметить, то среди пород джелонской свиты, легче поддающихся выветриванию, некие выступают в виде округлых останцовых солон до 0,2-0,6 км в попер-

речнике (бассейн р.Даванакан). Особено хорошо видны эти тела в морских береговых обрывах. Отделенные некки встречаются в 4,5 км на юго-запад от м.Эскан, в 1,5 км на восток от устья р.Немуй, по левобережью р.Даванакан и в районе бух.Борисова. Они представляют собой штокообразные тела с вертикальными, относительно прямолинейными, реже извилистыми очертаниями. В районе бух.Борисова хорошо видно, как некки постепенно переходят в покровы.

Судебные дайки, являющиеся корнями лавовых покровов немуйянской свиты, имеют очень широкое распространение. Они встречаются повсеместно. Дайки прямолинейные, извилистые, с ровными или нередко замкообразными контактами. Мощность даек колеблется от 0,5-2 до 10-20 м, протяженность самая различная. Углы наклона преимущественно 70-80° до вертикальных, редко 15-20°, простирации разные. В районе бух.Борисова наблюдалось, как подобные дайки в верхней части обрыва, сложенного породами джелонской свиты, перекают в порфиритовые покровы немуйянской свиты. От некков и даек нередко отходят межпластовые апофизы, залегающие совершенно согласно с замещающими породами. Минералогический и химический состав пород некков и даек аналогичен или схож с составу пород покровов, корнями которых они являются.

Условия слабой обнаженности данного района не позволили составить полный разрез свиты от полосы до кровли. По долине р.Немуй составлен частный стратиграфический разрез, который может отнести характеристизовать строение немуйянской свиты. В береговых обрывах правого склона долины р.Немуй, к западу от устья р.Еганы обнажаются снизу вверх:

1. Туфобрекции зеленого цвета, с обломками 2-12 см	160 м
2. Андезитовые порфириты птичеказовые, миндалекаменные, серого цвета	80 "
3. Андезитовые порфириты птичеказовые, темно-серого цвета с зеленым оттенком	50 "
4. Лавобрекции андезитовых порфиритов серого цвета, с обломками 1-1,5 см	80 "
5. Андезитовые порфириты птичеказовые, темно-серого цвета с зеленым оттенком	360 "
6. Туфы крупнообломочные, зеленого цвета	120 "

Общая мощность по разрезу 850 м. По простиранию в юго-восточном направлении лавобрекции выклиниваются. В бассейне р.Уайкан самая верхняя часть немуйянской свиты сложена андезитами порфиритами, аналогичными порфиритам слоев 2 и 3 вышеупомянутого разреза.

Англезитовые порфириты представляют собой породы с порфиро-вой, редко призматической и зернистой (зерновая фация) структурой, иногда с мицеллакаменной текстурой. Вкрашенники (20-40%) представлены птилоклазами (андезин-лабрадор № 45-55, редко лабрадор № 60 и андезин № 32-40), роговой обманкой, агитом. Количественные соотношения минералов варьируют в больших пределах, в связи с чем выделяются птилоклазовые, роговообманковые и пироксеновые разновидности андезитовых порфиритов. Основная масса микролитовая, пилотакситовая, часто интересгальная, редко гиалоплитовая, иногда криптокристаллическая, местами перлитовая. Она состоит из андезина, роговой обманки, агита и вулканического олекла. Иногда наблюдается небольшая (до 5%) примесь кварца (обр. 895/Г - см. химический анализ). По химическому составу (табл. I) андезитовые порфириты относятся к городам, насыщенным или слабо пересыщенным SiO_2 , умеренно богатым или бедным шелотам, редко пересыщенным глиноzemом (обр. 895/Г), и соответствуют лейкократовым и авгитовым андезитам по Р.Дали.

Дацитовые порфириты зеленовато-серые и серые, обладают порфировой структурой и иногда миндалекаменной текстурой. Вкрашенники представлены средним птилоклазом (85-95%) и кварцем (5-15%). Основная масса (75-80%) микролитовая, интересгальная, состоящая в основном из птилоклаза с небольшой примесью кварца.

Туфоловы андезитовых и дацитовых порфиритов по составу аналогичны соответствующим порфиритам, но содержат наряду с вкрашенниками до 30% обломочного материала.

Туфы и туфобрекчи аналогичны одноименным породам, входящим в состав джелонской свиты.

Дациты состоят из обломков тонкообломочных туфов и кварцитов светло-зеленого цвета, скементированных пироксеновыми андезитовыми порфиритами.

Мощность немуйканской свиты составляет 900-1000 м.

Породы немуйканской свиты залегают на флюристически окраинных отложениях верхней юры - нижнего мела (джелонская свита) и прорываются гранитоидами Ульского комплекса нижнемелового возраста, абсолютный возраст которых составляет 123,5-124 млн. лет. В образованных, аналогичных слагающим немуйканскую свиту, к северу от описываемой территории, в бассейне р. Молтак, Н.А. Ставцев и М.А. Таркова (1960) отобрали образцы туфов, из которых были получены споры и пыльца, характерные, по заключению В.В. Скотаренко, для валанчии и горетива Приморского края и Амурской области. Абсолютный возраст прикосновенных андезитовых порфи-

ротов (образец 256, В.И.Чернянский, 1964 г.) из покрова в районе устьи р.Укай равен 133 млн. лет^х, что соответствует приближительно середине неокома (1965 ф.). На основании вышеизложенного немуйканская свита отнесена к нижнему мелу.

Мериконская свита (СГ-1^{тн})

Отложения свиты развиты в пределах исследованной территории незначительно. Они встречаются в юго-западной части района, к югу от р.Медий (бассейн рек Бургали, Налдыча-Макит) и в пяти разрозненных небольших (от 2-4 до 30 км²) по площади участках в верхьях правых притоков р.Килья и левых притоков р.Медий.

На территории листа свита с угловым, иногда азимутальным несогласием залегает на породах джелонской (юго-запад района) и немуйканской (правые притоки р.Килья, левые притоки р.Медий) свит. Простирание пород джелонской и немуйканской свит преимущественно северо-восточное, а мериконской - субмеридиональное. Углы наклона пород первых двух свит 15-25°, а последней - не превышает 10-12°. Граница между мериконской и джелонской свитами первональ с карманообразными заливами. Это хорошо видно в морских береговых обрывах к юго-западу от устьи р.Медий. С небольшим разрывом свита перекрыта кислыми эфузивами верхнего мела (бассейн верхнего течения р.Малая Бонгая, левобережье р.Налдыча-Макит). Мериконская свита прорвана гранодиоритами верхнемелового возраста (Медийский массив).

Свита сложена почти исключительно туфоконгломератами и в меньшей степени конгломератами. Туфы, туфопесчаники, туфоалевролиты, туфобрекчи встречаются в виде редких линзообразных прослоев в низах свиты. Единичные линзообразные прослои аллювийских всплытий в самой верхней части свиты. Мощность линстаников встречена в самой верхней части свиты. Мощность линзобразных прослоев колеблется от 0,2-0,4 м до 5-10 м, протяженность может достигать 300-600 м, редко больше. Местами (крайний юго-запад территории) вся свита сложена туфоконгломератами и конгломератами. Несколько отличается строение свиты на участках в верхьях правых притоков р.Килья. Здесь уменьшается в разрезе роль туфоконгломератов, значительно увеличивается количество прослоев туфопесчаников и туфоалевролитов, появляются туфобрекчи.

^х/ Здесь и далее абсолютный возраст пород определен Т.К. Коновалчик (ДГУ) К-14 методом по валовому составу.

Таблица I

Химический состав андезитовых

порфиритов Немурканской синты^{X/}

$\frac{M}{M}$	Содержание							
	SiO ₂	TiO ₂	Al ₂ O ₃	Fe ₂ O ₃	FeO	MnO	MgO	CaO
1	51,94	1,43	17,36	2,78	6,51	0,17	3,83	5,46
2	56,68	0,91	16,84	1,13	5,95	0,12	2,63	6,09
3	53,37	1,08	17,14	2,27	7,31	0,16	4,39	8,59
4	59,75	0,59	16,05	0,97	4,64	0,13	3,56	4,1

Числовые характеристики

по А.Н.Заварикову

$\frac{M}{M}$	a	c	b	s	t'	m'
1	13,8	5,4	17,5	63,3	52	38,9
2	11,3	6,4	13,3	69,0	53	35,8
3	7,8	8,0	20	64,2	47	38,8
4	11,8	5,2	11,8	71,2	46,2	52,6

$\frac{M}{M}$	a'	c'	n	t	φ	a/c	q
-	9,1	96	2,08	13,8	2,56	-6,4	
-	11,3	74	1,1	7,6	1,77	9,0	
-	14,2	80	1,4	10	0,97	4,8	
1,2	-	78,4	0,8	7,2	2,27	13,6	

I - обр.749/Г, андезитовый порфирит платигоксазовый. Басс. 263, андезитовый порфирит пироксеновый (комл.В.И.Чернянского); 2 - устье р.Укай, покров эфузус.; 3 - устье р.Укай, судоходная лахан, некк (комл.Г.М.Левитана).

X/Химические анализы пород здесь и далее выполнены в лабор

Туфроконгломераты мелкогалечные до крупногалечных, нередко с небольшим количеством валунов. Цвет темно-бурый, темно-серый, зеленовато-серый, серый. Количество окатанного материала колеблется от 30-50% до 60-70%. Размеры гальки от 2-5 см до 10-12 см, валунов – преимущественно 15-20 см, реже до 30-40 см. Окатанность средняя и хорошая, очень редко – плохая. Крупная галька обычно уплощенной формы. Галька в туфроконгломератах распределена неравномерно как количественно, так и по размерам. В крупногалечных туфроконгломератах встречаются участки средне- и мелкогалечных до гравийных и наоборот. Переходы между конгломератами с разной крупностью окатанного материала постепенные. Какой-либо определенный ориентированности в расположении гальчного материала не наблюдалось. Состав пальки и валунов разнообразен, но преимущественно представлен осадочно-туфогенными породами немуйской и вулканическими породами немуйской свит, реже метаморфическими и гранитoidными породами нижнего протерозоя, гранитoidами ульского интрузивного комплекса нижнего мела. Галька из туфроконгломератов, встречающихся к западу от р. Малая Бонгая (близ западной границы листа) имеет следующий состав (в %): породы джелонской свиты (70)-туфы от тонко- до крупнообломочных 40, туфобрекции 10, туфы пелевые 12, туфолесчники 4, туфоалевролиты 4; породы немуйской свиты (24) – андезитовые порфириты 12, туфы окварцованные 12, гранодиориты и диориты ульского интрузивного комплекса, туфы от тонко- до крупнообломочных 40, туфобрекции 10, туфы пелевые 12, туфолесчники 4, туфоалевролиты 4; породы немуйской свиты (24) – андезитовые порфириты 12, туфы окварцованные 12, гранодиориты и диориты ульского интрузивного комплекса 4; кварц 2. Размер обломочного материала в туфроконгломератах с этого участка следующий: валуны 15-30 см – 15-20%, галька 5-10 см – 45-55%, галька 1-4 см – 30-35%. Окатанный материал туфоконгломератов в верховых правых притоков р. Кильи представлен песчаными туфами, туфолесчниками, андезитовыми порфиритами платиоклавовыми и пироксеновыми, метаморфическими породами и гнейсовоидными гранитoidами нижнего протерозоя, реже разнообломочными туфами. Интрузивные породы в конгломератах образуют гальку крупных размеров (8-12 см) и валуны. Цемент туфроконгломератов туфовый разнообразный, преимущественно средне- и крупнообломочный, реже туфобрекчевый. Конгломераты аналогичны туфоконгломератам и отличаются от последних туфолесчниковым цементом. Конгломераты слагают небольшие (до 2-3 км) участки среди туфроконгломератов. Переходы между ними постепенные.

Туфы от мелко- до крупнообломочных с псевдо- псаммитовой, псаммитово-алеврито- псаммитовой кристаллитокластической структурой, серого и темно-серого цвета. Обломочный материал (50-60%) представлен андезитовыми, реже дацитовыми порфиритами, туфами, реже кварцем и шпатомиксами.

Туфопесчаники и туфолевролиты отличаются от туфов значительным преобладанием в обломках окатанного и полуокатанного материала. Туфы и туфопесчаники в отдельных прослоях аналогичны цементу конгломератов.

Аркозовые песчаники встречаются только в верхнем течении рек Баранда и Найдица-Макит. Они серого цвета от мелко- до средне-реткого полусогнутые, имеют размеры от 0,5-1 см до 3-5 см и состоят преимущественно из андезитовых порфиритов и туфов.

Аркозовые песчаники встречаются только в верхнем течении рек Баранда и Найдица-Макит. Они серого цвета от мелко- до средне-зернистых. Структура псамитовая, псамито-алевритовая. Полусогнутый и окатанный обломочный материал (50-70%) представлен квартем и пластикалазом, реже калиевым полевым шпатом. Цемент кварцево-полевошатовый, слюдистый.

Общая мощность свиты составляет 300-500 м.

Нижним возрастным пределом для отложений свиты является возраст гранодиоритов и диоритов ульского интрузивного комплекса, галька и валуны которых встречаются в конгломератах. Абсолютный возраст интрузивных пород этого комплекса 123,5-124 млн. лет, что по-видимому, соответствует середине неокома. Верхним возрастным пределом является возраст перекрывающей ее толщи кислых эйдузиев. Абсолютный возраст кварцевых порфиритов, входящих в состав последней, 92 млн. лет (верхний мел). Флоры и фауны в породах свиты не обнаружено. На соседней территории к северо-востоку, где впервые в 1957 г. В.И.Топлендертом в бассейне р. Мерикон свита была выделена, ее возраст считается нижнемеловым. Такое определение возраста мериконской свиты не противоречит новым данным, полученным в изученном районе, однако не исключен и более молодой (альб-сеснomanский или сеснoman-туронский) возраст отложений этой свиты.

В е р х и й о т д е л

Толща кислых эйдузиев (Ст2)

Бычканские образования толщи развиты преимущественно на северо-востоке исследованной территории, в междуречье рек Муге и Эзкал, где они занимают площадь более 450 км². Разрозненные относительно небольшие участки этих отложений площадью от 1-3 до 35 км² отмечается в бассейнах рек Малая Бонгая, Альче, Уайкан, Немуйская Баранда и Даанакан.

Толща кислых эфузивов залегает с утюнным несогласием почти на всех породах, развитых в районе, что хорошо видно в бассейнах рек Улайкан и Муге и в других местах, и прорывается гранитами верхнемелового возраста.

Она сложена кварцевыми порфиритами и пакитовыми порфиритами, их туфами и туфлами, туфобрекчиями, очень редко туфоконгломератами. Толща представляет собой чередование пластов пирокластических пород и лавовых покровов. Мощность пластов и покровов в среднем колеблется от 5–10 до 20–50 м, минимальная мощность 1–5, максимальная 7–120 м. Пласти и покровы нередко имеют линзообразный характер, незначительную мощность и в большинстве случаев быстро выклиниваются по простиранию. Для описываемой толщи характерны преимущественно кислый состав пород, большей частью обладающие окраска их (белесая, светло-серая, светло-зеленая, буровато-желтая, светло-сереневая и т.д.) и преобладание пирокластических пород. Исключением является район междууречья Тамгуй и Лев. Тамгуй, сложенный в основном кварцевыми порфиритами и туфлами. Туфоконгломераты и покровы пакитовых порфиритов приурочены к низам, а покровы кварцевых порфиритов – к средней и верхней частям разреза. Кварцевые порфириты и пакитовые порфириты тоже обра-зуют не только покровы, но также встречаются и в виде отдельных некков и субэфузивных даек, являющихся жерловой фацией покровов. Даек и некков хорошо видны в морских береговых обрывах, где они прорывают породы джелонской и немуйканской свит. Отпределенные некки представляют собой штокообразные тела неправильной формы до 200–300 м в поперечнике. Контакты вертикальные, неровные, часто извилистые. Два некка кварцевых порфиритов встречены в районе с. Борисова. Субэфузивные даики имеют широкое распространение. Даики прямолинейные, реже извилистые мощностью от 0,5–1 до 3–5 м. Протяженность даек самая различная. Углы наклона колеблются в пределах от 15–20° до 80°, реже вертикальные. Простирации даек различные. От даек нередко отходят межпластины и вертикальные апофизы. Минералогический и химический состав некков и субэфузивных даек аналогичен или близок составу покровов, кор-иными которых они являются.

Представление о строении нижней половины толши может дать сводный схематический стратиграфический разрез, составленный по правобережью р. Эгукал, где на средних эфузивах немуйканской сви-ти нижнего мела залегают снизу вверх:

1. Туфоловы кварцевых порфиритов светло-розово-желтовато-серого цвета 70 м

2. Туфоконгломераты серые, темно-серые, средне- и крупногалечниковые	50 м
3. Дацитовые порфириты грязного зеленовато-серого цвета	15 "
4. Туфы кварцевых порфиритов серые, зеленовато-серые	55 "
5. Туфоловы кварцевых порфиритов розовато-серого цвета	35 "
6. Туфы, аналогичные слюд 4	20 "
7. Туфобрекчии (обломки от 0,5–2 до 4–5 см) серого, желтовато-серого цвета	50 "
8. Кварцевые порфириты желтовато-серого цвета	2 "
9. Туфобрекчии, аналогичные слюд 7	85 "
Общая мощность по разрезу 382 м. Аналогичное строение толщи имеет и в других районах ее распространения.	

Туфы кварцевых порфиритов – серого, темно-серого, зеленовато-серого цвета, разнозернистые, крепкие. Структура пород кристаллокристаллическая, реже ликокристаллокристаллическая с пепловым снязущей массой. Обломки представлены пакитоклазом (андезин № 34–36), кварцем, значительно реже микроклином и фельзитом. Количество обломков составляет 30–40%, реже 80–90%.

Туфы пакитовых порфиритов серого, сереневато-серого, реже зеленовато-серого цвета, разнобломочные, массивные, иногда миндалекаменные. Структура пород кристаллитокристаллическая с пепловой и кристаллокристаллической структурой связующей массы. Обломки представлены андезитовыми (10–15%) и пакитовыми (20–25%) порфиритами, тонкобломочными туфами (10%), пакитами (до 10%), пакитоклазом (до 5%) и кварцем (до 10%). Связующая масса пепловая. Реже в крупнообломочных туфах цементом является мелкообломочный туф. Пустоты выполнены хлоритом.

Кварцевые порфириты – серого, лиловато-серого, желтовато-серого, кирпично-красного цвета, массивные, очень крепкие. Структура породы порфиритовая с фельзитовой структурой основной массы. Вкрапленники представлены кварцем и пакитоклазом (андезин № 38–42) в количестве от 10 до 50–55% (в среднем 40–45%). Основная масса породы микрокристаллическая, фельзитовая. Пустоты в основной массе выполнены агрегатами хлорита до 0,5 мм в длину.

Дацитовые порфириты – зеленоватые, зеленовато-серые, серые со слабым сереневым оттенком, крепкие породы. Структура порфиритов, с фельзитовой, реже микролитовой структурой основной массы. Вкрапленники (0–40%) представлены андезитом № 41–42.

Турфолави кварцевых порфиров и дацитовых порфиров по составу аналогичны соответствующим породам и отличаются от них присутствием обломочного материала до 20-50%.

Турфобрачные темно-серого, серого, желтовато- и зеленовато-серого цвета с обломками (30-60%) андезитовых порфиров и туф-алевролитов размерами от 0,5-2 до 4-5 см, реже - 15-20 см. Связующая масса - разнозернистые туфы.

Все породы относятся к классу пересыпанных кремнеземом. По химическому составу и числовым характеристикам образцы 955 и 328/3 соответствуют кварцевым порфиром, а образец 263/1 - дацитам по Р.Дели (табл.2).

Мощность толщи 400-600 м.
На исследованной территории нижним возрастным пределом толщи кислых эфузивов является возраст нижнемеловых гранитоидов Ульского комплекса (абс.в возраст 123,5-124 млн. лет), на которых образования толщи залегают без каких-либо следов контактовых изменений (верховья рек Лангарь, Орго, Дэванакан и среднее течение р.Тамгут). Кроме того, толща несогласно залегает на породах немудиканской свиты, которая под линним отделения абсолютного возраста (133 млн. лет) датируется как нижний мел. Верхним возрастным пределом толщи является возраст верхнемеловых гранитоидов (абс. возраст 72-84 млн. лет), которые прорывают породы толщи.

Л.И.Красный (1955) возраст кислых эфузивов, залегающих в районе. Прибрежного, считал верхнемеловым по сопоставлению с аналогичными толщами кислых эфузивов верхнемелового возраста, развитыми в пределах хребтов Ям-Альинь и Эзод (юго-западнее территории листа). Верхнемеловой возраст описанной толщи подтвержден определением абсолютного возраста штуфа (955), отобранныго Г.М.Левитаном в 1964 г. из покрова кварцевых порфиров на междууречье Тамгут - Накунда, и равен 92 млн. лет. Сходные вулканогенные толщи кислого состава широко распространены к северо-востоку от района в пределах Охотского тектоно-магматического пояса, где они также верхнемелового возраста.

К А Й Н О З О Й С К А Я Т РУППА
ПАЛЕОНТОВАЯ СИСТЕМА (?)
Меваачанская свита (Pg7-mv)

Вулканогенные образования меваачанской свиты развиты на северо-западе исследованной территории, где слагают несколько раз-

Химический состав кварцевых и дацитовых порфиров

Таблица 2

Состав окислов	Содержание, вес. %			Числовые характеристики по А.Н.Заварницкому		
	1	2	3	1	2	3
SiO ₂	72,02	69,41	71,76	a	12,7	12,2
Al ₂ O ₃	0,28	0,26	0,31	c	2,8	3,0
Fe ₂ O ₃	13,77	14,49	12,62	b	2,9	5,4
РеO	0,72	0,45	0,39	s	81,6	79,5
МаO	0,06	0,10	0,09	d	28	27,5
MgO	0,49	0,93	0,67	e	0	8,7
CaO	2,29	2,85	2,58	n	65	82
Nа ₂ O	3,80	4,55	2,98	t	0,3	1,0
K ₂ O	3,07	1,48	3,19	q	9,3	7,5
P ₂ O ₅	0,08	0,10	0,08	a/c	4,54	4,06
SО ₃	0,04	0,07	0,09	q	35	31,5
СО ₂	0,21	0,65	1,55			38,3
H ₂ O	1,37	1,23	1,58			
Сумма	100,16	99,76	100,25			

П р и м е ч а н и е. I - обр. 955, кварцевый порфир. Междууречье Тамгут - Накунда, покров, из колл. Г.М. Левитана. 2 - обр. 328/3, кварцевый порфир. Устье р.Дэванакан, субаффузивная лайка, из колл. В.И. Чернянского. 3 - обр. 263/1, дацитовый порфир. Устье р.Уэй, некк, из колл. В.И. Чернянского.

розненные покровы площадью 1-3 км², приуроченные к гребням водоразделов. Свита впервые выделена в 1956 г. геологами ДВГУ В.А.Сысоевым, В.Ф.Букаловым к западу от исследованного района и названа по р.Мевачан (правый приток р.Маймакан, в ее верховьях), где она была наиболее полно изучена.

Образования мевачанской свиты залягают практически горизонтально и перекрывают с угловым и стратиграфическим несогласием айдукези и нефтьканской свиты нижнемелового возраста и анонтозиты нижнего протерозоя.

Породы свиты представлены андезитами. Для них характерна столбчатая отдельность. Андезиты платиоклазовые, реже пироксен-платиоклазовые, темно-серые, черные, иногда с фиолетовым оттенком, массивные, порфировидные, стекловатые. Вкрапленники (20-50%) представлены андезином № 40-42 (60-80%) и моноклинным пироксеном (20-40%). Основная масса микролитовая, криптокристаллическая, гиалопилитовая. Из пироксен-платиоклазовых андезитов в верховых р.Эвека Г.М.Левитаном были отобраны штуц 656 на силикатный анализ. Результаты анализа и числовые характеристики по А.Н.Заварийскому следующие: SiO_2 - 60,23; TiO_2 - 0,61; Al_2O_3 - 16,31; $\text{Fe}_{2,3}^{\text{O}}$ - 2,47; FeO - 4,02; MnO - 0,11; MgO - 2,37; CaO - 5,37; Na_2O - 3,62; K_2O - 3,10; P_2O_5 - 0,17; SO_3 - 0,04; CO_2 - 0,44; H_2O - 1,08; сумма - 99,94; а - 12,7; с - 4,8; б - 12,1; з - 70,4; г - 51,1; т' - 33,5; с' - 15,4; п - 63,7; т - 0,8; ф - 18,4; к - 10,2; а/с - 2,65. Пироксен-платиоклазовые андезиты по результатам анализа относятся к классу слабо пересыщенных кремнеземом пород, к группе бедных щелочами и соответствуют среднему составу андезитов по Р.Дэли.

Общая мощность свиты 100-180 м.

Возраст свиты по аналогии с соседней к западу территорией (Зубков, 1962) принимается, предположительно, палеогеновый. Но возможен и более молодой ее возраст, так как абсолютный возраст андезитов мевачанской свиты (образец 656, Г.М.Левитан, 1964) из покрова в верховых р.Эвек (левый приток р.Матей) оказался равным 12,8 млн. лет, что соответствует миоцену.

ЧЕТВЕРТИЧНАЯ СИСТЕМА

В пределах территории в состав четвертичных образований входят синоевые, речные, ледниковые, эоловальные, морские, аллювиально-проливиальные отложения от нижнечетвертичного до современного возраста.

НИЖНЕЧЕТВЕРТИЧНЫЕ ОТЛОЖЕНИЯ

(91)

Нижнечетвертичные аллювиальные отложения слагают аккумулятивный чехол поклонной террасы высотой 100-160 м. Наиболее широкая терраса развита в среднем течении р.Немуй, где ширина ее местами достигает 2 км. В устье р.Немуй высота террасы снижается до 40 м. Подобная терраса встречена также в долине р.Муте. Отложения представлены песками мелко- и среднезернистыми желтовато-серого цвета, сортированными, полимиктовыми, обычно слабо выдержаными. Мощность аллювиального чехла террасы не превышает 10 м.

Непосредственно к юго-западу от территории листа отложения надподъемной террасы высотой 80-100 м (долины рек Кира и Малый Джелон) содержат многочисленную сильно минерализованную пильгу и споры, которые, по заключению В.М.Морозовой (Второе ГГУ), характерны для растительности умеренно-холодного климата конца нижнечетвертичного времени (Чернявский, 1961). Принимая во внимание сходство литологического состава и аналогичное гипсометрическое положение, возраст отложений 100-160-метровой террасы датируется также как нижнечетвертичный.

СРЕДНЕЧЕТВЕРТИЧНЫЕ ОТЛОЖЕНИЯ (91)

Среднечетвертичные аллювиальные отложения имеют ограниченное распространение. Они слагают аккумулятивный чехол поклонной надподъемной террасы высотой 15-20 до 30 м., развитой на отдельных разрозненных участках по долинам рек Немуй, Муте, Матей и Медий. В устье р.Муте терраса сложена целиком аллювиальным материалом. В других местах района аккумулятивных террас такой высоты не наблюдалось. Отложения представлены галечниками с валунами, гальваниками с песком и гравием, песками, супесями, суглинками. Мощность отложений составляет 10-15 м, а в устье р.Муте - до 30 м.

Возраст отложений террасы как среднечетвертичный принимается на основании сопоставления с соседней к юго-западу территорией,

где аналогичные отложения, слагающие аккумулятивный чехол 15-30-метровой террасы, охарактеризованы спорово-пыльцевыми спектрами, соответствующими, по мнению В.Ф.Морозовой, климатическому оптимуму среднечетвертичной эпохи (Чернявский, 1961).

В е р х н е ч е т в е р т и ч н ы е о т л о ж е н и я (ф 2)

Верхнечетвертичные отложения представлены ледниками образованием, которые встречены в верховых рек Чукинда-Макит, Сельдак, Малая Бонгая, Надында, Медяй и левых притоков р.Немуйская Емранда. Они занимают очень незначительную площадь, слагают морены в днищах трогов. Отложения представлены несортированными глыбами и щебнем местных пород, скрепленных суглинником материалом. Мощность отложений до 10 м.

Слабая выветренность морен и хорошая сохранность ледниковых форм рельефа свидетельствуют о том, что ледниковые отложения формировались в эпоху последнего (поздневерхнечетвертичного) оледенения. Они синхронны верхнечетвертичным аллювиальным отложениям, слагающим аккумулятивный чехол террас высотой 4-10 до 12 м, возраст которых определен как поздневерхнечетвертичный по спорово-пыльцевым спектрам, отражающим ледниковые условия.

В е р х н е ч е т в е р т и ч н ы е - с о з р е - м е н и е о т л о ж е н и я о б ъ е д и - н е н н ы е (ф 3 - IV)

Образования объединенного верхнечетвертично-современного возраста представлены элювиальными, смешанными склоновыми, транзитационными, аллювиально-пролювиальными, а также аллювиальными отложениями.

Процессы физического выветривания горных пород обусловлены широкое развитие на территории **Э л л о в ы х**, **с м е -** **ш а н и х** склонов и т равянистых о б р а з о в а н и й, которые почти сплошным чехлом покрывают водоразделы и склоны долин и на геологической карте не обозначены. Элювиальные отложения приурочены к плоским водоразделам и представлены глыбами и щебнем с примесью дресвы и суглинков.

(и иногда до 30%). Состав обломочного материала всегда соответствует составу подстилающих пород. Мощность отложений нигде не превышает 3 м и, как правило, составляет 1, 5-2 м. Смешанные склоновые отложения представляют собой образования, которые сформировались под воздействием плоскостного смыва, гравитации и солифлюкции. Смешанные склоновые отложения представлены глыбами и щебнем с существенным и суглинистым заполнителем, реже песками, суглинками и суглинками (средние и нижние части выложенных склонов). Мощность отложений до 3 м. Гравитационные отложения развиты на склонах, практически лишенных растительного покрова, и представляют собой незакрепленные и полузакрепленные осадки, состоящие из глыб и крупного щебня. Преобладающая мощность осадок от 1-2,5 до 3 м, максимальная мощность порядка 4-5 м наблюдается у подножий склонов. Возраст элювиальных, смешанных склоновых и гравитационных образований определяется как верхнечетвертичный – современный на основании представлений об усилении процессов физического выветривания во время и после эпохи последнего (верхнечетвертичного) оледенения. Вполне вероятно, что на отдельных участках сохраняются и более древние склоновые и элювиальные об разования.

А л л о в и а л ь н о - п р о л ю в и а л ь н ы е н а - к о п л е н и я в у т о л я к у р т ч е в ы х р уч е в по с о с т а в у и м а р т м н о г о о с щ е т о с аллювием верхнечетвертичной террасы; мощность их нередко достигает 6-8 м. Конусы выноса временных водотоков сложены

почти неокатанным и несортированным щебенчатым материалом. Они, по-видимому, в основном были созданы в эпоху последнего оледенения. В настоящее время продолжают формироваться только конусы выноса временных водотоков. Отложения конусов выноса ложатся на поверхность верхнечетвертичной террасы и подрезаются поясом. Из этих сооружений их возраст определяется как верхнечетвертичный – современный.

На территории листа встречены как верхнечетвертичные, так и современные речные отложения. На геологической карте они обозначены и описаны в настоящем разделе совместно.

В е р х н е ч е т в е р т и ч н ы е а л л о в и а л ь н ы е
о т л о ж е н и я присутствуют в долинах почти всех рек. Они слагают аккумулятивный чехол поклонной террасы высотой 4-10, реже 12 м. На отдельных участках вся терраса является аккумулятивной. Отложения представлены валунниками с галькой и галечниками с валунами и с гравийно-песчаным заполнителем. Реже встречаются пески, супеси, суглинки с примесью гальки, гравия и валунов.

Мощность отложений в нижнем течении крупных рек достигает 10 м, а в остальных случаях, как правило, не превышает 6 м.

Возраст отложений определяется по спорово-пыльцевым спектрам, характеризующим очень холодный климат, способствующий развитию лесо-тунировых ландшафтов, т.е. отражают ледниковые условия. В составе пыльцы (определения В.Ф.Морозовой, Г.Т.Карташовой, Второе ГГУ) преобладает пыльца ольхи, а меньшим количеством березы (в том числе пыльца березы *Betula ehlis Suk.*). Хвойные представлены пыльцой кедрового стакника и лиственницы. Характерно отсутствие пыльцы широколиственных пород. Среди спор преобладают споры сагиттальных мхов и папоротникообразных. На этом основании отложения террас высотой 4-12 м можно датировать как поздненевернечетвертичные. Однако, учитывая, что упомянутые споропыльцевые спектры характеризуют только верхние горизонты разреза аллювия, в целом описание отложения можно считать как верхнечетвертичные.

Современные аллювиальные отложения юга и юго-запада накапливаются в руслах рек и слагают аккумулятивные пойменные террасы высотой 0,5-0,7 до 3 м. Отложения валунниковые с галькой, галечниковые с валунами, реже песчаные, травяные, супесчаные и суглинистые. Видимая мощность современного аллювия колеблется от 0,5 до 3 м, местами достигает 6 м.

Современные отложения (Q_{IV})

Современные отложения четвертичной системы представлены морскими отложениями, которые слагают пляжи и полосу осушения. Они имеют очень ограниченное распространение. Пляж и полоса осушения узкий, не выраженный в масштабе геологической карты преимущественно пологой протягивающейся вдоль морского побережья главным образом в северной части территории и в устьях рек. Отложения пляжа представлены валуно-галечниковым и песчано-гравийным материалом. Мощность отложений колеблется в значительных пределах, но, как правило, не превышает 3 м. Лишь в устьях некоторых рек, где пляж осложнен береговыми валами, мощность достигает 5-10 м.

ИНТРУЗИВНЫЕ ОБРАЗОВАНИЯ

Интрузивные породы широко развиты в пределах описываемой территории, занимая около 40-45% ее площади. По возрасту среди них можно выделить протерозойские анортозиты, габбро-нориты и гнейсовые плагиограниты, а также ранне- и позднемеловые гранитоиды.

ПРОТЕРОЗОЙСКИЕ ИНТРУЗИИ

Анортозиты и габбро-нориты

($v_5 Pt_1$)

Анортозиты и габбро-нориты развиты на северо-западе территории, в пределах хр.Джигар. Выходы их принадлежат к юго-восточной части Джигарского анортозитового массива, протягивающегося более чем на 500 км. Анортозиты наблюдаются преимущественно в северо-западной части и вдоль южного контакта массива, а габбро-нориты и гасро — в полосе шириной от 3-5 до 10 км, протягивающейся от верховьев р.Магей до верховьев р.Мутэ и далее к северо-востоку за пределы территории. В зоне преимущественного развития анортозитов встречаются участки и полосы как мономинеральных лафандитов, так и габбро-норитов. Эти породы образуют широкие обособления (А.Л.Лебедев, 1957). В пределах массива широко развиты миллиметризованные разности анортозитов и габбро-норитов.

Анортозиты представляют собой массивные полнокристаллические породы от средне- до гигантовернистых, светло-серого, иногда серого цвета. Составят они на 88-98% из плагиоклаза, отвечающего по составу обычно лабрадору № 56-60. Близким контактов с гнейсющими плагиогранитами происходит раскищение плагиоклаза вплоть до появления амфиэзина № 32-33. Остальной объем породы занимает ромбический и моноклинный пироксен. В качестве акцессорных минералов присутствуют рутил, ильменит, магнетит и сульфиды (пирит, пирротин, халькопирит). По ромбическому пироксену разрезается мелкочешуйчатый тальк, иногда настело его замещающий, а по моноклинному пироксену — уранитовая роговая обманка, актинолит, хлорит, изредка карбонаты. По плагиоклазу развивается клинопой-

зит, количество которого значительно возрастает вблизи контактов с гнейсовидными плагиогранитами. Текстура породы массивная, часто такситовая; структура кристаллическая, панцироморфозернистая.

Т а б о р и т — массивные, поликристаллические породы, часто пятнистые, с такситовой текстурой, обусловленной неравномерным расположением темноцветных минералов. Наряду со средне- и крупнозернистыми отмечаются разнозернистые табориты. Главными пордообразующими минералами, как и в опионосных уже породах, являются основной плагиоклаз (от 60 до 85%), моноклинный и ромбический пироксены (от 15-20 до 30-40%). Рудные минералы аналогичны встречающимся в аортозитах и лабрадоритах.

Общее их содержание не превышает 1-2%, повышенное иногда до 5-7%. Вторичные минералы представлены уралитовой роговой обманкой, серпентином, хлоритом, минералами группы эпидота, серпентитом и тальком.

В северо-восточной части массива в виде двух изометрических овалов обособляются мономинеральные лабрадориты. Они представляют собой масивные поликристаллические породы крупно-, иногда гигантозернистые. Цвет их от белого до лиловато-серого с голубоватым оттенком (в случае присадки плагиоклаза). Кроме основного плагиоклаза, в них в незначительных количествах (менее 1%) присутствуют гиперстен, диопсид, апатит. Вторичные минералы представлены хлоритом, серпентитом, тальком, доказитом, эпидотом. Изрудных отмечаются шименит и сульфиды (пирит, пиротит). Текстура породы **массивная**, структура паницироморфозернистая.

Судя по данным химических анализов (табл.3), аортозиты Джульбарского массива характеризуются несколько повышенным содержанием кремния, а табориты по содержанию кремния занимают промежуточное положение между средними составами таборитов и анортозитов по Р. Дэни.

Дайки, генетически связанные с анортозитами и таборитами раннего протерозоя, по составу представлены таборит-диоритами ($\sim \text{Pb}$) и пироксенитами (σPb). Мощность даек колеблется от 0,1-1,0 до 30 м. Приручены они к кругопадающим трещинам субширотного простирания (аз. простирания 70-90°, углы падения от 45 до 90°) и встречаются преимущественно в поле развития таборитов.

Т а б о р и т предстают собой мелко- и среднезернистые породы темно-серого, почти черного цвета; состоят они из плагиоклаза (15-20%), отвечающего по составу андезин-лабрадору № 50-52, вторичных амфиболов группы актинолита, обра-

Химический состав аортозитов Джульбарского массива

Состав окислов	Содержание, вес, %			
	1	2	3	4
SiO_2	52,26	53,09	49,42	52,31
TiO_2	Сл.	0,09	0,23	0,18
Al_2O_3	28,53	29,43	27,03	21,53
Fe_2O_3	0,80	0,26	2,49	1,00
FeO	0,50	0,50	3,68	3,44
MnO	—	0,02	0,06	0,07
MgO	0,29	0,38	2,26	3,47
CaO	12,30	11,72	9,62	9,57
Na_2O	3,11	3,10	2,28	3,68
K_2O	1,44	1,22	1,92	0,35
SO_3	0,23	0,30	0,95	3,90
H_2O	0,51	—	—	1,87
Сумма	99,97	100,10	99,24	99,53

Числовые характеристики по А.Н.Заваринскому

#/П	a	c	b	s	r'	m'	o'	a'	n	t	φ
1	10,4	17,2	2,3	70,1	58,7	24,1	17,2	—	77	—	34,5
2	9,9	16,4	4,3	69,4	23,6	18,2	—	68,2	79,5	0,1	15,4
3	8,7	12,9	16,0	62,4	39,0	26,2	—	34,7	65,0	0,4	15,0
4	9,5	11,2	12,7	66,6	36,0	51,0	13	—	95,4	1,2	7,1

П р и м е ч а н и е. 1-2 —обр. 234, 231, аортозит, 3-4 —обр. 407, 253, таборит-диорит. Анализы образцов 234, 231 и 407 заменены из работы А.П.Лебедева (1957).

сующих лужистые выделения (65–80%), хлорита и ильменита. Песчаник часто замещается агрегатом сфена и лейкосенса. Редко в породе наблюдаются реликты пироксенов и первичной роговой обманки. Выделения плагиоклаза интенсивно сосудороганованы.

Пироксины по внешнему облику очень похожи на габбро-диориты, но отличаются отсутствием мелкозернистых разностей и меньшей мощностью паек, или сложных (мощность последних не превышает 1 м). Цвет пород темно-серый, с залегноватым оттенком. В составе их преобладает моноклинный пироксен (до 80%), ромбический пироксен составляет 5–10% объема породы, плагиоклаз 15–20%. Кроме того, в породе присутствуют магнетит, ильменит, апатит. Вторичные минералы – кварц, хлорит, тальк, карбонаты.

Вмешавшими породами для анортозитов, лабрадоритов и габбродиоритов Джульярского массива служили метаморфические породы нижнего протерозоя. Об этом свидетельствует большое количество в разрезе последних послойных инъекций рассланцованных плагиоклазитов, вышоть до образования анортозитовых митматитов. Мощность плагиоклазитовых инъекций колеблется от 0,1–0,5 до 15–30 м. В составе их преобладают плагиоклаз (75–80%), представленный андезином № 33–34, и клинопомазит (18–22%), а также содержится до 2% хлорита, мусковита, пренита, эпидота. Структура пород аллитоморфно-зернистая, гетеростабовая, текстура полосчатая и негравийная полосчатая. Контактовые изменения вмешавших пород вблизи анортозитов затушеваны более поздними процессами, связанными с внедрением гнейсовидных плагиогранитов нижнего протерозоя.

Возраст анортозитов принимается нижнепротерозайским на основании следующих данных. В верховых р. Альчи наблюдался активный контакт гнейсовидных плагиогранитов нижнего протерозоя с анортозитами. Кроме того, в тех же плагиогранитах встречаются ксенолиты анортозитов. Аналогичные породы габбро-анортозитового комплекса, распространенные на южной окраине Сибирской платформы (бассейн р. Олемки), в сходных структурах имеют твердо установленный докембрийский возраст: граниты, прорывающие анортозиты, трансгрессивно перекрыты фаунистически охарактеризованными нижнекембрийскими отложениями (Салол, 1954). По данным А. И. Тутарникова и др. (1965), к западу-югу от описываемого района, в бассейне р. Уян (южные склоны хр. Джульяр), анортозиты имеют абсолютный возраст 2250 ± 150 млн. лет, что соответствует нижнему протерозою.

Гнейсовидные плагиограниты

(г Pt₁)

Гнейсовидные плагиограниты обнаруживаются в пределах крупного массива, протягивающегося в виде дуги, вынутой в юго-восточном направлении, почти через всю оливиновую территорию от западной ее границы (междуречье Немуй – Магей) до северной (междуречье Мугэ – Лантарь) и прослеживающейся за пределами района на запад. Северо-восточная часть массива пророчена к зоне региональных различных нарушений. Ширина массива колеблется от 6–8 км в восточной части до 18–22 км на западе.

По внешнему облику среди пород массива выделяются крупно-, средне-, мелко- и тонкозернистые разности, причем пространственное их размещение в пределах массива совершенно незакономерно. Можно только отметить, что мелко- и тонкозернистые гнейсовые плагиограниты развиты преимущественно в восточной части массива, тогда как крупнозернистые – встречаются в междуречье Немуй – Магей, в его центральной части. Крупнозернистые гнейсовые плагиограниты представляют собой породы светло-серого до розово-серого цвета с характерными гексагональными кристаллами обидита и мусковита, достигающими 2–5–3 см в поперечнике. Среднезернистые гнейсовидные плагиограниты – равномернозернистые породы с отчетливой гнейсовой текстурой светлого, желтовато-серого и серого цвета (мусковитовые разности – белого цвета). Очень редко среди них встречаются разности с порфиробластами кальевого поперечного шата таблитчатой или округлой формы, до 1,5 см в поперечнике, вытянутыми в направлении общей разгнейсованности пород. При этом наблюдается появление текстур, обусловленных облеканием овальных порфиробласт средне- и мелкозернистой основной массой с повышенным содержанием слюд. Для среднезернистых гнейсовидных плагиогранитов характерно наличие широких обособленный крупнозернистых пегматитов. Размер таких обособлений от 30–40 см до 2–5 м в поперечнике, форма неправильная, овальная, с реаками ограничениями. Мелкозернистые разности пород имеют несколько более темную окраску от грязной серовато-розовой до розово-серой. Для них характерно более интенсивное разгнейсовование, чем для среднекрупнозернистых разностей. Тонкозернистые гнейсовидные плагиограниты, встречающиеся в междуречье Альчи – Тутандик, имеют кирпично-розовый и розовый цвет и слабую разгнейсованность. Все породы

массива в большей или меньшей степени разгнейсованы. Гнейсовая текстура подчеркивается параллельным расположением темноцветных компонентов, а в крупно- и среднеэзернистых разностях - параллельным расположением порфиробластов калиевого полевого шпата. Общее

пространение разгнейсования северо-восточное ($50-60^{\circ}$ СВ), только в верховых р. Ауды оно сменяется на субширотное (300° СЗ), параллельное контакту гнейсовых плагиогранитов с амортозитами Джульбарского амортозитового массива. При этом падение плоскостей разгнейсования во всех случаях направлено на север-северо-запад. С динамометаморфизмом связано и широкое развитие в породах массива явлений протобластеза и катаклаза, выражавшихся в изгибании чешуек и дроблении зерен полевых шпатов и кварца.

По петрографическому составу среди пород массива резко преобладают слюдяные плагиограниты. Количественно минеральный состав плагиогранитов весьма однороден. Главную массу породы составляют плагиоклаз и кварц. По преобразанию темноцветных компонентов можно выделить двуслюдянные, мусковитовые и биотитовые плагиограниты. Однако уловить какую-либо закономерность в распределении этих разностей внутри массива не удалось. Главные породообразующие минералы двуслюдянных плагиогранитов и их состав (%): плагиоклаз (52-57), представленный андезином № 30-32, кварц (13-34), калиевый полевой шпат (0-10), мусковит (1-8), биотит (1-7). Аксессорные минералы представлены цирконом, сфееном, апатитом, эпидотом, реже рутилом. Мусковитовые плагиограниты содержат (в %) плагиоклаз (60-70), кварц (10-25), калиевый полевой шпат (5-10), мусковит (5-10), апатит, рутил, сфеен, рудные минералы и калиодолизит. Содержание последнего достигает иногда 6-8%. Биотитовые плагиограниты состоят (в %) из плагиоклаза (43-50), кварца (25-37), калиевого полевого шпата (5-9), биотита (5-15), калиодолизита (3-6). Аксессорные минералы - апатит, рутил, сфеен. Мусковит в двуслюдянках разностях плагиогранитов появляется позднее биотита и развивается как по трещинам в других минералах, так и по биотиту, замещая последний.

Все породы относятся к классу пересыщенных кремнеземом (табл.4). Среднеэзернистый гнейсогнейсовый плагиогранит (обр. 27) относится к группе пород белых щелочными и близке всего стоит к граниториту по Р.Дэли.

Аналогичный гнейсогнейсовый плагиогранит с пегматоидами обособленный (обр. 43) более всего напоминает по своему составу и числовым характеристикам цепочной гранит. Видимо, такое отклонение от названия, данного при микроскопическом описании, обусловлено

Таблица 4

Химический состав гнейсогнейсовых плагиогранитов

Состав окислов	Содержание, вес. %		
	1	2	3
SiO ₂	71,54	73,79	67,41
TiO ₂	0,26	0,33	0,28
Al ₂ O ₃	15,12	11,88	17,66
Fe ₂ O ₃	0,58	0,81	0,55
FeO	2,04	3,12	1,62
MnO	0,05	0,06	0,04
MgO	1,06	0,27	0,62
CaO	2,85	0,70	2,62
Na ₂ O	5,00	2,91	6,06
K ₂ O	0,87	5,05	2,00
SO ₃	0,00	0,00	0,01
R ₂ O ₅	0,08	0,04	0,13
H ₂ O	0,58	0,87	0,73
П.п.п.	0,08	0,39	0,45
Сумма	100,03	99,83	99,73

Числовые характеристики по А.Н. Заваринскому

п/п	a	c	b	s	a'	f'	m'	n	t	φ	Q	a/c
1	12,1	3,4	5,2	79,3	15,4	51,3	33,2	89	0,2	15,4	31,0	3,6
2	13,2	0,9	4,4	81,5	11,9	79,1	8,9	47	0,3	14,9	35,7	14,7
3	16,2	3,1	4,1	76,6	29,6	46	24,6	82,3	0,3	10	17,7	5,2

П р и м е ч а н и е. 1-3 - басс. р. Етара: 1 - обр. 27, гнейсогнейсовый плагиогранит среднеэзернистый, 2 - обр. 43, гнейсогнейсогнейсовый плагиогранит с пегматоидами обособлениями, 3 - обр. 1236, гнейсогнейсогнейсовый плагиогранит с порфиробластами полевых шпатов.

наличием в массе породы пегматоидных обособлений. Гнейсовые пегматограниты с крупными пориробластами полевых шпатов (обр. 1236) по валовому химическому составу ближе всего к среднему составу послекембрийских гранитов. Для всех анализированных пород характерны несколько повышенное содержание кремнезема и пониженные содержания железа, магния и кальция, по сравнению со средними составами пород по Р.Дэни.

В пределах массива гнейсовых пегматогранитов во вмешающей его толще метаморфических пород, а также в апортозитах Дугдилурского массива наблюдаются многочисленные жилы кварца ($\text{q}_{\text{Pt},?}$), дайки пегматитов ($\text{P}_{\text{Pt},?}$), аplitов ($\text{i}_{\text{Pt},?}$), гранит-порфириев ($\text{Gp}_{\text{Pt},?}$) и тонкозернистых гранитов ($\text{t}_{\text{Pt},?}$). Сходство минералогического состава и оптических свойств породообразующих минералов, а также их пространственная приуроченность к комплексу пород раннего протерозоя, дает возможность достаточно уверенно счищать образование большинства описываемых даек с интрузией гнейсовых пегматитов нижнего протерозоя. От аналогичных по составу даек других интрузивных комплексов они отличаются практическим постоянным присутствием среди второстепенных минералов мусковита, а среди акцессорных – граната.

Л и л и к в а р п а, раннепротерозойский возраст которых принимается условно, наиболее часто приурочены к зонам трещин, где они выполняют трещины самого разнообразного направления. Мощность их от 2–5 до 20 см, причем мощность отдельных жил непостоянна и меняется от 5–7 до 20 см. Среди гнейсовых пегматогранитов кварцевые жилы и прожилки расположены обычно согласно гнейсоватости пород, мощность их несколько меньше и не превышает 1–7 см. Жилья сложены агрегатом среднезернистых ксеноморфных зерен молочно-белого кварца размером до 1,5 мм.

Д а й к и п е г м а т и т о в и д в у с л ю д я н и х пегматитовых гранитов встречаются в пределах массива залегающими как согласно гнейсонастости пород, так и секущими ее. Мощность даек колеблется от 0,1–0,15 до 0,8–1 м. Это крупно- и грубозернистые породы розового и беловато-розового цвета. Сложенны они калиевым полевым шпатом (50–70%), кварцем (20–30%), птилоклазом (5–30%), представленным олигоклазом № 18–20. В небольших количествах (до 2%) присутствуют мусковит и биотит. Как правило, породы содержат довольно много граната, кроме того, в пегматокдае встречаются редкие штокочки рутила. Размер зерен в дайках пегматита до 1–1,5 см, редко более, в дайках двухслойных пегматоидных гранитов – 3–5 до 7 мм. Структура породы

презумптивно микротрафическая, участками аллотриоморфозернистая. В долине р.Мута в коренном обнажении наблюдалось пересечение дайкой пегматита кварцевого прожилка, согласного гнейсонастости пород.

Д а й к и а п л и т о в развиты в пределах массива наимболее широко. Мощность их колеблется от 1–5 см до 3–7 м. Интересно, что крупные дайки, как правило, внедряются по направлению гнейсонастости пород, а мелкие сечут ее. Цвет пород серовато-розовый до розового, структура аplitовая, местами микротрафическая. Их состав (в %): калиевый полевой шпат (35–40), кварц (25–35), птилоклаз (25–30), представленный олигоклазом (от № 10–12 до № 18–20), мусковит (1–2). Среди акцессорных минералов отмечаются гранат, рутил и рудный. Размер зерен не превышает 0,5–1 мм.

Д а й к и т о н к о з е р н и ч е с к и х г р а н и т о в образуют, как правило, маломощные тела (до 1–1,5 м). Наиболее часто это серовато-розовые породы с отчетливыми выделениями граната. Породы состоят (в %) из птилоклаза (30–35) – олигоклаза около № 20, кварца (35–40), калиевого полевого шата (20–25), граната (1–2) и мусковита (до 1). Структура пород аллотриоморфозернистая, текстура массивная, местами одногнейсонастая.

В верхнем течении р.Мута, а также в верховых левых притоках р.Орто в сwałах встречаены глыбы гранит-пирофиров, образующих, видимо, дайки, прорывающие гнейсовые пегматограниты. Породы состоят из мелкозернистой основной массы и звралеников калиевого полевого шата (микроклин). В основной массе кро ме микроклина присутствуют кварц, птилоклаз и мусковит. Размер зерен основной массы колеблется от 0,1 до 1 мм. Размер вкраплеников от 3–5 до 7–9 см по длиной стороне, при ширине 1–3 до 4 см. Количество их составляет до 35%. Вкрапленники микроклина сопер жат включения кварца и птилоклаза.

Внедрение гнейсовых пегматогранитов раннепротерозойского возраста проходило после становления Дугдилурского апортозитового массива. Непосредственно на контакте с гнейсонастыми пегматитами в апортозитах широкое развитие приобретает клинопизит, который пронизывает густой сетью итальянских выделений зерна птилоклаза. По трещинам в породе развиваются пизит, мусковит, карбонат и кварц. Кроме того, наблюдается некоторое раскрытие птилоклаза, что уже отмечалось выше. Мощность зоны, в которой проявлены описываемые изменения, не превышает первых метров. Гораздо более интенсивные изменения в результате внедрения гнейсовых пегматитов претерпели породы нижнего протерозоя. В пре-

делах описываемой территории последние наблюдаются в основном в виде крупных ксенолитов. Площадь их колеблется от 1-2 до 20-25 км². По присутствию в гнейсовых пегматитах полособразных скоплений темноцветных компонентов (споди), можно предположить, что часть пород нижнего протерозоя была ассимилирована интрузией. Среди ксенолитов часто наблюдаются послойные и неправильные гнейсовые пегматиты различной мощности: от долей сантиметра до одного метра.

В пределах описываемой территории гнейсовые пегматиты имеют активный контакт с анерозитами Джульджурского массива нижне-протерозойского возраста и несогласно перекрываются осадочно-туфогенными породами Желонской свиты верхнекорского-нижнекорового возраста. Западнее, в Межуречье Немуй - Лавля - Иккана гнейсовые пегматиты перекрыты осадочными образованиями среднего девона. По своему петрографическому составу (преобладание пегматитов) и внешнему облику породы описываемого массива аналогочны гранитам древнестанового интрузивного комплекса, возраст которого достоверно установлен как досинийский (Дзевановский, 1959), а по данным А.И. Тугарлова (1965) является нижнепротерозойским (абсолютный возраст 2000±100 млн. лет).

РАЙОННИЧЕМЕЛОВЫЕ ИНТРУЗИИ УДСКИЙ КОМПЛЕКС

Кварцевые диориты, реже гранодиориты (1-5Ст₁чd)

Интрузивные породы, относимые нами к ульскому комплексу ранненижнекорового возраста, известны только в северо-восточной части описываемого района, где они слагают три небольших массива в бассейнах рек Тамгуй, Этукал, Дэванакан и юго-западное окончание крупной интрузии, выходящей далеко на северо-восток за пределы территории (в дальнейшем мы будем именовать ее Орого-Лантарским массивом). По составу среди интрузивных пород комплекса преобладают кварцевые диориты, лишь в Орого-Лантарском массиве спорадически наблюдались разности, переходные к гранодиоритам, и собственно гранодиориты. Дэванаканский, Этукальский и Тамгуйский массивы имеют площадь соответственно 12,6 и 15 км². В плане они представляют собой неправильной формы овалы, длинные оси которых вытянуты в запад-северо-западном направлении. Все три массива являются, видимо, штокообразными телами, с незначительной

глубиной эрозионного среза. Об этом свидетельствует преобладание в пределах вскрытых частей интрузий мелкозернистых разностей. Орого-Лантарский массив на изученной территории имеет площадь около 160 км². Длинная ось массива ориентирована в северо-восточном направлении, а массив приурочен к зоне Джульджурского глубинного разлома. Этим объясняется появление в пределах массива разновидностей гранодиоритов, кварцевых диоритов и зон катаклизированных пород. Эрозионный срез Орого-Лантарского массива, видимо, несколько более глубокий, так как в его пределах доминируют среднезернистые разности пород. Среди пород описываемого интрузивного комплекса преобладают кварцевые диориты. Это, как правило, мелкозернистые породы от серого до темно-серого цвета, массивные. Кварцевые диориты Орого-Лантарского массива имеют несколько более светлую окраску и среднезернистое строение. Пегматиты составляют 60-65% объема породы, причем в Орого-Лантарском массиве это андезин № 40-44, а в Дэванаканском и Тамгуйском - андезин-лабрадор № 48-54. Содержание (в %) кварца колеблется от 5 до 20, роговой осланки - от 5 до 15, биотита - от 3 до 10. В породах Тамгуйского массива вместо биотита присутствует пироксен (5-10%). Последний в качестве второстепенного минерала отмечается и в кварцевых диоритах Орого-Лантарского массива, где его содержание не превышает 1-2%. Кроме пироксена в второстепенном минерале может быть отнесена полевая шпат, содержание которого также не превышает 2% от объема породы. Аксессорные минералы представлены альбитом, сфееном, рулем, а в породах Орого-Лантарского массива еще и цирконом. Структура породы гипидиоморфозернистая. В пределах Орого-Лантарского массива изредка отмечаются участки, на которых при постепенном увеличении количества калиевого полевого шпата и соответствующем уменьшении количества пегматита и темноцветных минералов появляются разности, отличающиеся по составу гранодиорита.

Из приведенных силикатных анализов (табл.5) видно, что породы обоих массивов весьма близки друг другу. При этом бросается в глаза резкое преобладание натрия над калием (в 2-3 раза). По своему типу породы могут быть отнесены к классу пересщепленных кремнеземом, трупие очень белых щелочами. Они хорошо согласованы со средним составом кварцевого диорита по Р.Дэли, отличаясь от последнего лишь несколько более высоким содержанием сау.

Большие породы, образование которых можно связывать с границами ульского интрузивного комплекса, представлены всего двумя

Таблица 5

Химический состав кварцевых диоритов

Состав окислов	Содержание, вес. %		Числовые характеристики по А.Н.Баварильскому	
	1	2	1	2
SiO ₂	61,29	59,90	a	0,91
TiO ₂	0,75	0,77	c	7,1
Al ₂ O ₃	17,00	17,23	b	11,5
Fe ₂ O ₃	1,07	2,72	v	72,3
FeO	4,93	4,25	r'	50,3
MnO	0,12	0,13	m'	41,8
MgO	2,81	2,08	c'	7,9
CaO	6,47	6,49	n	73,9
Na ₂ O	3,02	3,66	t	0,8
K ₂ O	1,59	1,12	φ	8,5
SO ₃	0,00	0,18	I ₉	19,3
P ₂ O ₅	0,17	0,05	I ₃	16,1
H ₂ O ⁺	1,22	0,12	a/c	20,8
п.п.п.	0,72	0,98		1,5
Сумма	100,44	99,68		

П р и м е ч а н и е. I-2 - обр. 683, 880, кварцевые диориты Орого-Лантарского и Дзанаканского массивов.

маломощными дайками мелкозернистых аplitитов и ильиних гранитов в светлого слегка розового цвета (TrCr_1), прорывающих кварцевые диориты Дзанаканского массива. Дайки имеют мощность 20-25 см и приурочены к крутопадающим трещинам субширотного простирания. Породы состоят (в %) из кварца (35-40%), кальцита полевого шпата (40-45), плагиоклаза (15-17), представленного олигоклазом № 26-28, биотита (3-5) и рудного минерала (около 1).

Из акцессорных минералов присутствуют апатит, сфен и ортит. Размер зерен не превышает 1 мм. Структура пород гипидроморфно-зернистая, участками аplitовая. Связь описанных даек с гранитoidами Удского комплекса весьма гипотетична и основана только на простираемости их приуроченности к Дзанаканскому массиву этого комплекса.

Все массивы описываемого комплекса прорывают эфузивы нешуйканской свиты нижнемелового возраста и перекрываются (за исключением Этукальского массива) кислыми эфузивами предположительно верхнего мела. Вдоль северной границы Дзанаканского массива, среди интенсивно ороговикованных андезитовых порфиритов немуйканской свиты, наблюдаются многочисленные прожилки кварцевых диоритов мощностью до 2 см. В то же время кварцевые порфиры и туфолавы верхнего мела, развитые вдоль юго-западного контакта массива, не претерпели никаких изменений. Аналогичные соотношения наблюдались и в пределах Тамгусского и Орого-Лантарского массивов. Кроме того, галька кварцевых диоритов, весьма близких по внешнему облику и составу описанным выше, наблюдалась в контактировавших Мерикской свите нижнемелового возраста в бассейне р. Налдыра-Макит. Хорошо согласуются с геологическими данными и определения абсолютного возраста. Кварцевые диориты Дзанаканского массива имеют абсолютный возраст 123,5 млн. лет. Приведенные породы Орого-Лантарского массива - 124 млн. лет, аналогичные породы подтверждают нижнемеловой возраст пород комплекса.

ПОЗДНЕМЕЛОВЫЕ ИНТРУЗИИ

Грандиориты, кварцевые диориты, плагиограниты, скелето-диориты, грандиорит-порфирь, гранит-порфирь (18, 8, 1, 18, 1 п. Стр₂)

Интузии гранитоидов, относящиеся к позднему мелу, развиты преимущественно в центральной и юго-западной части территории листа. В отличие от массивов Удского интрузивного комплекса, они

не имеют отчетливой пространственной ориентировки и образуют массивы обычно неправильной формы с извилистыми очертаниями. В составе описываемого комплекса, представленного довольно широкой гаммой пород щелочно-земельного ряда от кварцевых диоритов и сиенито-диоритов до гранодиорит-порфиров и гранит-порфиров, выделяются интрузии двух фаз внедрения.

Интрузии первой фазы в пределах описываемого района имеют весьма ограниченное распространение. Они образуют три небольших массива: Кильский (левобережье р.Киль в ее среднем течении), Немуйский (между ручьем левых притоков р.Немуй - Аудль и Толготичан) и Етаринский (верховья р.Етара). Немуйский и Кильский массивы в плане имеют форму неправильных овалов площадью около 2 км². Оба они прорывают и метаморфизуют эфузивы немуйской свиты. Судя по незначительной величине (0,3-0,5 км) зоны контактового метаморфизма, массивы представляют собой штокообразные тела с довольно крутыми контактами. Площадь Етаринского массива составляет около 12 км². В горизонтальном сечении он имеет форму овала, вытянутого в северо-западном направлении.

Кварцовые диориты Немуйского массива – макроскопически мелкозернистые, слабопорфировидные породы светло-серого цвета. Главные породообразующие минералы имеют процентный состав: патроклаз – андезин № 38-43 (60-65), кварц (12-15), пироксен (3-7), биотит (3-5), амфибол (3-10). В некоторых случаях присутствует (до 3%) калиевый полевой шпат. Как правило, среди темноцветных преобладает роговая обманка. Слабая породообразность породы создается крупными выделениями патроклаза, пироксена и роговой обманки. Количество вкраплениников составляет до 15-20% объема породы. Размер выделений патроклаза до 2 мм, пироксена и роговой обманки – до 5-7 мм. Встречаются разности, содержащие длиннопризматические выделения роговой обманки размером до 2,5-3 см по длиной стороне, при ширине 1-2 мм. Размер зерен основной массы 0,1-0,8 – 1,0 мм. Аксессории представлены апатитом, сференом, рудным минералом и единичными выделениями циркона.

Платигориты (трондемиты) Кильского представляют собой мелко- и среднесернистые равномернозернистые породы светло-серого и серого цвета. Они состоят (в %) из патроклаза (60-65) – андезина № 38-43, кварца (20-25), роговой обманки (5-7 до 10) и биотита (2-5). От кварцевых диоритов Немуйского массива породы отличаются тем, что

в них отсутствуют пироксен, калиевый полевой шпат, но присутствует больше кварца.

С и е н и т о - д и о р и т и й Е т а р и н с к о г о

Массивы отличаются от пород, описанных выше, несколько меньшим содержанием патроклаза (до 45-50%) и повышенным содержанием калиевого полевого шпата, который занимает 17-20% объема породы. В таком же количестве порода содержит кварц, причем оба эти минерала наблюдаются преимущественно в виде микрографических срастаний. Темноцветный минерал представлен роговой обманкой (до 11-15%). Выделения патроклаза резко зональны. Центральные части крупных выделений отвечают по составу андезин-лабрадору № 49-52, а периферийские – андезину № 38-40. Преобладающей структурой трех описаных пород является гипидроморфозернистая, и только в сиенито-диоритах отмечаются участки микрографической структуры.

Интрузии второй фазы распространены в пределах описываемой территории гораздо более широко. Среди них отмечаются такие крупные массивы, как Медийский и Бирючинский, а также целый ряд более мелких тел, часть которых, видимо, является сателлитами этих массивов.

В пределах ялота расположено только восточное окончание Медийского массива площадью около 200 км². Большая же его часть располагается к западу, за пределами района. В горизонтальном сечении массив имеет неправильную форму. В его пределах довольно четко обособляются породы главной интрузивной фации и фации эндоконтакта. Главная интрузивная фация представлена гранитами и крупнозернистыми, слабопорфировидными, серовато-розового цвета, иногда со слабым сиреневатым оттенком. Главные породообразующие минералы гранодиоритов имеют следующий процентный состав: патроклаз – 30-40 (от олигоклаза № 20-22 в краевых частях до андезина № 34-40 в центре зональных выделений), кварц (20-30), калиевый полевой шпат (25-30), роговая обманка (5-7), биотит (3-5). Из аксессорных минералов преобладает сфеен, количество которого иногда достигает 1-1,5%, отмечается апатит, единичные выделения циркона, рудный. Порфировидный облик породы обусловлен наличием крупных выделений патроклаза размером от 5-6 до 12-15 мм по длиной стороне, которые составляют от 15 до 25% объема породы. Породы эндоконтактовых фаций представлены мелко-, реже среднесернистыми гранодиоритами розовато-серого цвета. Цветное число в них увеличивается до 20-22, причем среди темноцветных пре-

облашает ротовая обманка (на 4-5 частей ротовой обманки - 1 часть блотига). Количество кварца не превышает 20-25%, калиевого полевого шата примерно столько же. Резко увеличивается в породе содержание акцессорных минералов. В некоторых шлифах количество сфена достигает 2-3%, рудного минерала 1-2%. В гранодиоритах на- блюдается большое количество ксенолитов размером от 2 до 10-12 см, редко более. Большой частью ксенолиты превращены в скопления темноватых минералов, обычно овальной формы с нерезкими границами. Однако встречаются менее измененные ксенолиты, среди которых отмечались, в частности, платиоклаз-ротовые обманковые андезиты с тонкозернистой основной массой, претерпевшей лишь перекристаллизацию. Породы фации сателлитов представлены мелкозернистыми гранодиоритами (верховья р.Лягтак), аналогичными гранодиоритам фаций эндоконтакта и кварцевыми диоритами, отличающимися от последних почти полным отсутствием калиевого полевого шата (до 2-3%) и меньшим количеством кварца (до 10-15%). Породами этого типа сложены два небольших штока у восточного контакта Медийского массива.

Бирандинский массив, расположенный в межуречье Муте и Немуй (площадь около 140 км²) в плане имеет сложную форму с извилистыми контактами. В пределах массива преобладают мелко- и среднезернистые гранодиориты, которые и макро- и микроскопически весьма близки гранодиоритам фации эндоконтакта Медийского массива. В подчиненном количестве присутствуют гранодиорит-порфиры, выходы которых приурочены к восточным kontaktам массива (долина р.Мутэ). Взаимоотношения их с гранодиоритами нигде не наблюдалась.

Гранодиорит - пир Фирн Бираниск о-го массива представляет собой породы обычно грязного серовато-розового цвета с тонкозернистой основной массой, на фоне которой отчетливо выделяются крупные зерна платиоклаза (ан-дезин-лабрадор № 48-52), ротовой обманки и реже кварца. Размер их достигает 2,5-3 мм, количество - 15-25% объема породы, причем две трети составляет платиоклаз. В основной массе различаются мелкие выделения кварца, калиевого полевого шата и блотига, кроме того, изредка наблюдается платиоклаз. Количество кварца и калиевого полевого шата равно и составляет от 70 до 90% основной массы. Структура пород порфировидная, структура основной массы аplitовая, участками гипидоморфозернистая. В непосредственной близости (0,7-2 км) от контактов Бирандинского массива отмечаются небольшие тела фации сателлитов площадью 1-1,5 км². Три из них (два у юго-западного окончания массива

и одно у северного) сложены мелкозернистыми гранодиоритами, соверенно аналогичными наблюдавшимся в самом массиве. Четвертое же, расположение у северо-восточного контакта, по левому берегу долины р.Мутэ, сложено гранит-порфирами. Гранит - пирорифы Бираниского массива в плане представляют собой светло-розовые породы с тонкозернистой основной массой и крупными выделениями кварца (от 2-3 до 5-8 мм) - 10-12% и полевых шпатов (1,5-3 мм) - 15-20%. Платиоклаз вкрапленников представлен олигоклазом. Основная масса состоит из микрографитических срастаний кварца и калиевого полевого шата и незначительных количеств мелких выделений платиоклаза. Структура породы порфировая с микрографитической структурой основной массы.

Кроме Медийского и Бирандинского массивов в северо-восточной части территории отмечается несколько небольших интрузивных тел овальной формы в плане, которые по геологическому положению, внешнему облику и петрографическому составу пород их слагающих, могут быть отнесены ко второй фазе внедрения описываемого интрузивного комплекса. Площадь этих массивов колеблется от 0,5 до 1,5-2 км². Один из них, обнажающийся по левоберегию р.Этукал, близ ее устья, сложен гранит-порфирами, аналогичными описанным выше. Два других: в верховых р.Этукал и вблизи побережья Охотского моря, к северо-западу от мыса Отличительного сложены мелкозернистыми гранодиоритами; остальные - гранодиорит-порфирами.

Из пород как первой, так и второй фаз внедрения верхнемолового интрузивного комплекса были отобраны образцы на спикательный анализ (табл. 6).

По своему составу все анализированные породы близки средним составам по р.Дэли. Необходимо отметить, что по химизму породы первой фазы отличаются от пород Улского комплекса, хотя в обоих случаях мы имеем дело с кварцевыми диоритами или породами, близкими к ним (сиенито-диориты). Так, содержание железа и кальция значительно выше в породах улского интрузивного комплекса, в то время как количество калия больше в породах позднемеловых интрузий.

Дайки, связанные с гранитоидами мелового возраста, наиболее многочисленны и разнообразны по петрографическому составу. К сожалению, большинство их наблюдалось только в осадках.

Петматиты и пегматиты Фирн Бираниского массива развиты только в пределах Медийского и Бирандинского массивов. Они образуют дайки мощностью от 10-20 см до 3 м. Это среднезернистые породы розового и серовато-розового цвета.

Таблица 6

Химический состав кварцевых диоритов, сиенито-диоритов и гранодиоритов

Состав окислов	Содержание, вес. %				
	1	2	3	4	5
SiO ₂	59,09	64,01	63,82	62,90	66,94
TiO ₂	0,66	0,41	0,76	0,80	0,39
Al ₂ O ₃	17,41	15,88	16,47	16,08	14,44
Fe ₂ O ₃	2,00	2,62	0,50	2,16	1,84
FeO	3,75	2,52	3,76	2,87	2,37
MnO	0,10	0,08	0,12	0,09	0,07
MgO	2,97	1,74	1,46	1,96	1,69
CaO	5,67	3,66	3,74	4,42	3,39
Na ₂ O	3,54	3,88	3,81	3,77	3,77
K ₂ O	2,03	3,68	4,29	4,12	3,68
SO ₃	0,03	0,17	0,00	0,01	0,02
P ₂ O ₅	0,28	0,06	0,22	0,23	0,14
H ₂ O ⁺	2,11	0,94	0,54	1,16	0,51
П.п.п.	0,00	0,19	0,38	0,04	0,37
Сумма	99,64	99,84	99,49	100,51	99,62

Числовые характеристики по А.Н.Заварыцкому

#обр.	a	c	b	s	r'	m'	c'	n	t	q	q	a/c
613/2	II, I	6,6	II, 3	71,0	48,6	46,0	5,05	73	0,9	15,2	13,2	I, 7
2649	III, 9	3,7	8,4	74,0	55,7	35,2	9,1	60,8	0,09	26,4	16,5	3,8
772	II, 4	3,8	7,4	74,1	55,2	33,6	II, 2	57	0,1	5,6	15	3,9
782	II, 3	3,7	9,7	72,3	48,2	34	17,8	57,7	0,1	19,8	12,3	3,9
869	II, 5	2,8	8,0	75,7	47,5	35,5	17,0	61	0,4	18,6	21,9	4,8

П р и м е ч а н и е. I – обр. 613/2, кварцевый плагиогранит, немую-канский массив; 2 – обр. 2649, сиенито-диорит, Еваринский массив; 3–5 – гранодиорит, Мийдский массив; 3 – обр. 772, мелкозернистый, 4 – обр. 782, среднезернистый, 5 – обр. 869, крупнозернистый.

Состоит они из кварца и кальевого полевого шата, находящихся во взаимном прорастании (до 85–90%), платиклаза (олигоклаз № 18–20) и единичных выделений биотита и рудного минерала. Из акессорных минералов отмечается орбит и мелкие выделения апатита. Структура пород микрографическая.

А п л и т ы ($\text{Ca}_2\text{Si}_2\text{O}_5$) образуют лайки мощностью от 0,5 до 17–25 реже 80–90 см. Встречаются они только в пределах массивов позднемелового интрузивного комплекса. Это светлые розовые мелко- и тонкозернистые породы с албитовой структурой. В составе (в %) их преобладают калиевый полевой шпат (40–45), кварц (до 40), платиклаз (12–15), биотит и рудный минерал (до 3). Платиклаз представлен албитетом-олигоклазом и олигоклазом первых номеров.

А п л и т о в и д н ы е г р а н и ты ($\text{Ca}_2\text{Si}_2\text{O}_5$) образуют довольно многочисленные лайки мощностью до 1 м и не выходят далеко за пределы массивов. От албитов они отличаются несколько большим количеством платиклаза (до 20–25%) и биотита (до 5%), а также большим идиоморфизмом платиклаза I, как следствие этого, типидиоморфно-зернистой структурой.

Г р а н и т – п о р ф и р ы ($\text{Ca}_2\text{Si}_2\text{O}_5$) встречаются только в среднем течении р. Этукаль и близ устья р. Мута, где они слагают крутонахиленные дайки, мощностью 8–15 см, субмеридионального простирания. Это тонкозернистые порфитонодные породы светлого розово-серого цвета. Вкрапленники (1–3 мм) представлены кварцем, платиклазом (андезин № 39–41) и рудным минералом. Основная масса состоит из зерен кварца и кальевого полевого шата размером 0,1–0,2 мм. Структура основной массы албитовая с участками микропегматитовой.

Т р а н д и о р и т – п о р ф и р ы ($\text{Ca}_2\text{Si}_2\text{O}_5$) образуют дайки мощностью от первых сантиметров до 3 м, прокрученные обычно к кругопадающим трещинам различных направлений, как в пределах массивов (в Меджиком, например), так и вблизи них. Макроскопически это порфировые породы с мелко-, чаще тонкозернистой основной массой сиреневато- или розовато-серого цвета и вкрапленниками платиклаза (андезин № 40–44) и роговой обманки. Размер первых достигает 1,5 см по длинной стороне, вторых – до 5 мм. Количество вкрапленников составляет от 20 до 40%. Основная масса состоит из кальевого полевого шата, кварца, платиклаза в равных соотношениях и небольших количеств (до 10%) роговой обманки и биотита. Размер зерен основной массы от 0,05 до 0,5–1 мм, структура ашлитовая, с участками микропегматитовой.

Диорит-порфирин (Mg-Cr_2) образует многочисленные, часто ветвистые лайки мощностью от 0,3-0,5 до 2-2,5 мм. В своем распространении они не обнаруживают тесной пространственной связи с интрузиями позднемелового возраста. Это темно-серые иногда зеленовато-серые породы с тонкозернистой основной массой и отчетливыми порфировыми выделениями плагиоклаза (андезин № 45-47) и роговой обманки. Размер последних достигает 1-1,3 см, количество 20-25%. Основная масса чаще микрозернистая, состоит из плагиоклаза, роговой обманки, рудного минерала, иногда содержит мелкие зерна кварца. Размер зерен от 0,05 до 0,1 мм, структура призматическая зернистая.

Микропорфит (S-Cr_2), так же как и диорит-порфиры, не имеют тесной пространственной притяженности к массивам описываемого интрузивного комплекса. Они представляют собой темно-серые, реже серые мелко- и тонкозернистые породы иногда порфировидные. Состав (в %) они из плагиоклаза (55-70), представленного альбитом № 35-43, роговой обманки (20-40), биотита (до 5), незначительных количеств пироксена и кварца. Аксессорные минералы представлены рулем, альбитом и сферолитом. Структура пород гипабломорфозернистая.

Контактовые изменения вмещающих пород массивов как ранне-, так и позднемелового интрузивных комплексов имеют практический идентичный характер, так как по своему составу интрузии весьма близки друг другу. Заключаются эти изменения в ороговиковании, окварцевании и пиритизации вмещающих пород, реже в обра- зовании, напоминающих вторичные кварциты. Наиболее широко проявляются процессы ороговикования. Ширина зон ороговикованных пород, вокруг массивов колеблется от первых сотен метров до 4 км. Ореолы контактового метаморфизма в тuffогенно-осадочных и вулканогенных образованиях относительно четко могут быть разделены по степени измененности на три зоны.

Роговики зоны экзоконтакта распространены непосредственно вокруг массивов в полосе до 50-100 м. Наиболее широко развиты среди них слюдисто-кварцевые, реже эпидот-кварцевые роговики. Структура породы лепидобластовая и пегматитобластовая. Сильно ороговикованные породы средней зоны образуют полосы шириной 150-300 м. Андезиты и туфы андезитов в этой зоне волнины Меджистского, Немчукского и Дзанаканского массивов, например, имеют темно-серый цвет с зеленоватым оттенком. Структура пород порфировая, областопорфировая, кристаллоискристаллическая. Вкрапленники плагиоклаза и роговой обманки изменены слабо. По основной массе развиваются хлорит, карбонат, эпидот-диоритовые минералы, мелкочешуйчатые

агрегаты зеленовато-бурого биотита. На отдельных участках наблюдается окварцевание основной массы. Кварцевые порфириты и туфы кварцевых порфиров вокруг Биранинского массива в аналогичной зоне не представляют собой светло-серые или зеленовато-серые породы с бластопорфировой и кристалломитокластической структурой. В кварцевых порфирах сохраняются лишь реликты вкраплениников кварца и плагиоклаза. Основная масса состоит из тонкозернистого кварц-серпинитового агрегата с гранобластовой структурой. В туфах кварцевых порфиров по элементу развивается мелкочешуйчатые агрегаты зеленовато-бурого биотита, микротранзабластовые зерна вторичного кварца, хлорит, волокнистый актинолит. Во вглелих, наиболее обширных зонах контактового метаморфизма породы затронуты изменениями весьма слабо. Выражены эти изменения в появлении не-значительного количества мелкочешуйчатого биотита и серпинита-шиш, а также в общем уплотнении вмещающих пород. Зоны пиритизации, разорванных пород, приурочены либо к контактам интрузивных массивов, либо к зонам разрывных нарушений. Интенсивность пиритизации различных участков варьирует в широких пределах. Наиболее крупные погоды настапают зоны отмечаются вблизи Дзанаканского массива кварцевых диоритов, Биранинского массива гранодиоритов и Егаринского - сиенито-диоритов, а также вблизи морского побережья к северу от устья р. Меджит и к северу от устья р. Тамтуй. В обоих последних случаях зоны, вилло, связаны с разрывными нарушениями. Чаще пиритизация отмечается в ороговикованных породах. Пирит образует как рассеянную вкрашенность, так и небольшие прожилки длиной 10-15 см и мощностью не более 2-3 мм. Кроме пирита в породах наблюдалась рассеянная вкрашенность пирротина, халькопирита, реже ковеллита (верховья р. Етара). В бассейнах рек Эвека, Дзана-кан, Муте, Толокочин и Чукана-Макит среди андезитов, туфолов андезитов и тuffогенно-осадочных пород наблюдалась участки осетленных пород, напоминающих вторичные кварциты. Это светло-желтые, серовато-желтые породы, состоящие из агрегата кварца и серпинита с примесью рутила и шерита. Площадь таких участков от первых сотен метров до 2 км².

О верхнемеловом возрасте интрузий описываемого комплекса свидетельствуют не только активный контакт таких массивов, как Биранинский, Меджистский и др. с кислыми эффеузивами верхнемелового возраста, но и данные определения абсолютного возраста. При этом кварцевые диориты и сиенито-диориты первой фазы внедрения имеют абсолютный возраст от 84±2 млн. лет (Немчукский массив)

до 82 млн. лет (Етариинский массив), а гранодиориты второй фазы – 72-4 млн. лет (Медийский массив), что вполне соответствует геологическим и петрографическим данным. Взаимоотношения интрузий ранне- и позднемелового возраста наблюдались только в восточной части Тамгусского массива. Здесь кварцевые диориты уздского интрузивного комплекса прорваны небольшим телом мелкозернистых гранодиоритов. Последние совершенно аналогичны породам района эндоконтакта Медийского и Бирандинского массивов позднемелового интрузивного комплекса. Гранодиориты содержат ксенолиты кварцевых диоритов размером до 10 см неправильной формы и образуют в кварцевых диоритах прожилки мощностью до 0,5-1 см.

ТЕКТОНИКА

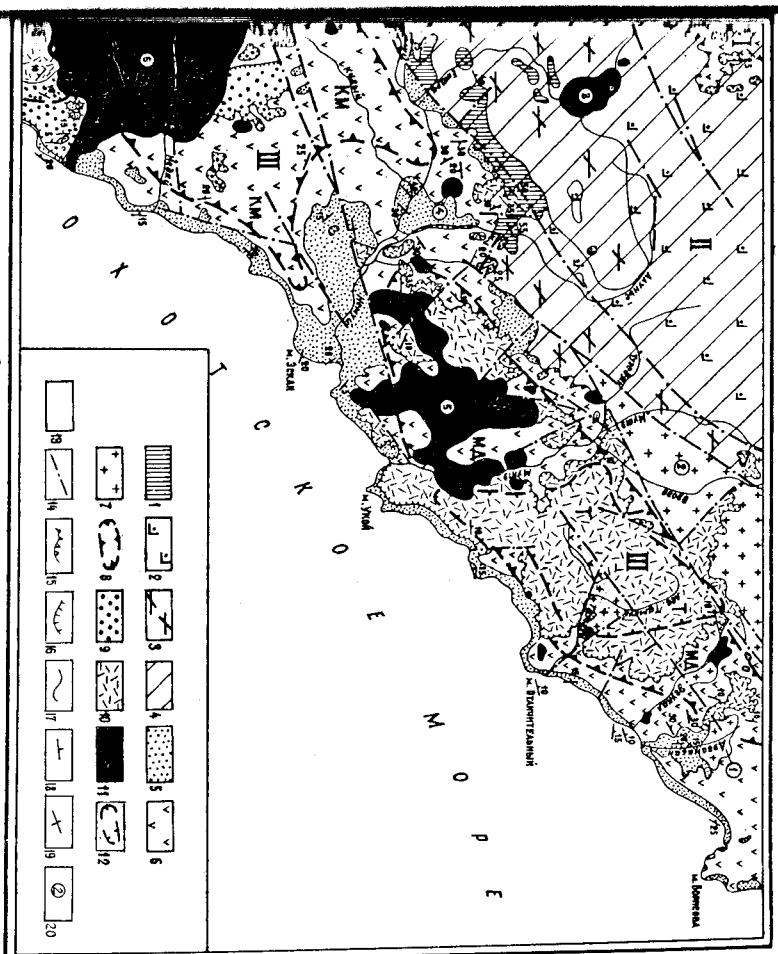
Описываемая территория расположена в зоне сожжения области протерозойской складчатости Становика – Джутикура (оказывающейся юга и юго-востока Альданской ямы) с палеозойскими структурами северо-восточного окончания Монголо-Охотского складчатого пояса. Складчатые структуры района осложнены наложенным протибами мезокайнозойского возраста. Все породы, обнажающиеся в пределах описываемой территории, образуют два четко выраженных структурных этажа, разделенных значительным перерывом и резким угловым несогласием. К нижнему структурному этажу относятся метаморфические породы нижнего протерозоя и прорвавшие их интрузии того же возраста. Верхний структурный этаж образован породами верхнеуральского палеогенового возраста (см. рисунок).

Нижний структурный этаж

Область протерозойской складчатости Становика – Джутикура

Рассматриваемая область занимает осевую часть хр. Джутикур и его отроги. В пределах территории расположена лишь ее юго-восточная часть.

Х/ Среднепалеозойские образования, принадлежащие Удско-Пантарской ветви Монголо-Охотского пояса, в пределах района между Целиком и здесь не описаны. Однако они хорошо известны как юго-западнее, так и северо-восточнее территории листа № 63-1, ул.



ная часть, где развиты породы лавлинской свиты и прорвавшие их интрузии нижнего протерозоя. Породы лавлинской свиты интенсивно дислоцированы. Они отличаются довольно сильным рассланцеванием, катализом, нередко миаситизацией. В них часто отмечаются бреши и трещины и зеркала скольжения. Все эти изменения связаны с движением метаморфизмом в зоне глубинного разлома, который В.И.Толденбергом, Н.С.Шпак и др. (1962), а также В.М.Моралевым (1962) и авторами данной записки именуется Джутикурским. Этот же разлом Л.И.Красный и др. (1960) называют Прибрежным.

Характер складчатости из-за разобщенности площадей, сложенность метаморфическими породами, их небольших размеров, сравнительно плохой обнаженности и значительного количества разрывных нарушений полностью не выяснен. В районе нижнего течения р.Орото (правый приток Альньи) метаморфические породы слагают относительно крупные асимметричные антиклинальную и синклинальную складки северо-восточного простирания. Амплитуда размаха крыльев складок приблизительно 500–600 м. Углы наклона крыльев от 50–60° до 75°. Породы в замковой части синклинали полого (10–20°) падают на восток-северо-восток. В юго-западном направлении обе складки уходят под мезозойские образования, а в северо-восточном (на левобережье р.Орота) – они срезаются разрывными нарушениями и интуризиями гнейсовых пегматитов нижнего протерозоя. Обе структуры осложнены мелкой складчатостью. Мелкие складки асимметричные, наклонные, лежачие, часто опрокинутые, с размахом крыльев от долей метров до первых метров. Осевые плоскости мелких складок наклонены под углами 10–20° до 50–70° преимущественно на запад-северо-запад, юг-юго-восток, северо-запад, редко в других направлениях. Плойчатость в метаморфических сланцах развита очень слабо. Иногда она наблюдается в породах лежачего крыла (в призамковой части складок). К западу от описываемого района, где метаморфические породы нижнего протерозоя развиты более широко, В.Ф.Зубковым (1962) отмечается, что они собраны в изоклиновые складки, опрокинутые на юго-восток. В пределах исследованного района такое запрокидывание отмечено только в верхнем течении р.Етара, по ее правобережью.

В е р х н и й с т р у к т у р н ы й э т а ж

К верхнему структурному этажу нами относятся осадочно-туфогенные и вулканогенные образования верхнеюрского – палеогеново-

го возраста, прорванные интрузиями ранне- и позднемелового возраста. В пределах описываемой территории эти отложения образуют два разобщенных поля распространения – северо-западное и юго-восточное. Первое из них приурочено к северо-западным отрогам хр.Джутикур и в структурном отношении принадлежит Предджутикурскому наложенному прогибу (Моралев, 1962; Толденберг, Шпак и др., 1962). Второе занимает юго-восточные склоны хр.Джутикур, а также хр.Прибрежный и принадлежит к Ульскому наложенному прогибу (Нагибина, 1958 и др.; Толденберг, Шпак и др., 1962). Протяженность разделены Джутикурским антиклинальным поднятием (Моралев, 1962; Толденберг, Шпак и др. 1962). Одная мощность пород верхнего структурного этажа около 3000–3500 м.

На основании различий в литологическом и петрографическом составе пород, условий их образования и характера дислокированности верхний структурный этаж подразделяется на три структурных яруса; нижний – верхнеюрско-нижнемеловой, средний – нижне-верхнемеловой и верхний – палеогеновый. Структурные ярусы разделены между собой разрывом и утловыми несогласиями. В пределах Ульского наложенного прогиба развиты образования нижнего и среднего, а в пределах Предджутикурского – нижнего и верхнего структурных ярусов. На смежных территориях в пределах обоих прогибов выделяются все три структурных яруса.

Ульский наложенный прогиб

Ульский наложенный прогиб выполнен мощной толщей пород верхнеюрского – верхнемелового возраста, с резким несогласием залягающих на складчатых образованиях нижнего структурного этажа. Исследованная территория охватывает лишь западное крыло прогиба, восточное же крыло срезано береговой линией Охотского моря. Общая мощность осадочно-вулканогенных образований, выполненных прогиба, достигает 2900–3400 м. Эти цифры дают представление о максимальной амплитуде прогибания и характере не только для отдельных участков Ульского наложенного прогиба (в частности для самой юго-западной части описываемой территории). В среднем же амплитуда прогибания не превышала, вероятно, 2000–2500 м.

Нижний структурный ярус представлен отложениями Желонской и немумянской свит верхнеюрского – нижне-

У/Ранее описываемая часть прогиба относилась Л.И.Красным (1960 и др.) к Ульско-Охотскому вулканитическому поясу.

мелового и нижнемелового возраста, а также интрузиями ульского комплекса. В пределах описываемой части протока породы нижнего структурного яруса образуют две крупные синклинальные структуры II порядка/, вытянутые в северо-восточном направлении. Это Киль-Медянская и Муте-Даванаканская брахисинклинали. Разделены они попеченным антиклинальным поднятием.

Киль-Медянская брахисинклиналь расположена в дассейнах однолленных рек в юго-западной части территории. Она представляет собой северо-восточное окончание крупной Кирсан-Джелонской синклиналии, выделенной Л.И.Красным на территории листа №53-Х, протяженностью около 30 км и примерно такой же ширины. Мульда синклиналии выполнена породами немудянской свиты, а на крыльях она-жаются отложениями джелонской свиты. Падение пород на крыльях колеблется от 15-20 до 30°. Мульда синклиналии осложнена антиклинальным перегибом, в пределах которого на дневную поверхность по разрывным нарушениям выведены породы джелонской свиты.

Муте-Даванаканская брахисинклиналь несколько отличается от Киль-Медянской по форме и размерам. Так же как и последняя, она вытянута в северо-восточном направлении, но длина ее достигает в пределах района 55-60 км при ширине до 12-15 км. Северо-западное крыло структуры срезано разрывным нарушением. В целом Муте-Даванаканская синклинальная структура имеет правильную овальную форму и меньший размах крыльев, хотя утил падения пород на крыльях аналогичны описанным.

Брахисинклинали разделены поднятием, ось которого пространственно совпадает с долиной р.Немуй и ориентирована в северо-западном направлении, т.е. вкrest простирания длинных осей брахисинклинальных структур и протока в целом. Поднятие не имеет отчетливых ограничений и фиксируется широкими выходами на поверхность пород джелонской свиты.

Описанные выше крупные брахисинклинальные структуры нижнего структурного яруса ульского наложенного протока осложнены складками III порядка. Ширина их достигает 2-3 до 5 км, а протяженность - 5-10 до 15 км. Наиболее четко выражены брахисинклинальные структуры. Они встречаются в районе морского побережья между р.Немуй и Медян, в бассейне верхнего течения р.Экит, по правобережью р.Киль, в междууречье Немуй-Киль, в бассейне р.Узай и других местах. Наиболее характерными являются брахисинклинали в районах морского побережья и

х/З структуру I порядка проявляется узкой наложенный про-

верхнего течения р.Экит, осложняющие Киль-Медянскую брахисинклиналь II порядка. У первой из них сохранилось только северо-западное крыло, а юго-восточное срезано береговой линией Охотского моря. Протяженность структуры 15 км, максимальная ширина 5 км, углы наклона крыльев 15-20°, форма в плане удлиненно-овальная. Вторая брахисинклиналь овальной (в плане) формы имеет протяженность около 10 км и максимальную ширину 4 км. Углы наклона крыльев 20-30°. Отмеченные брахисинклинальные структуры III порядка могут служить антиклиналью в районе мыса Эскан, сложенная туфами и туфобрееками джелонской свиты. Амплитуда размаха крыльев складки 0,6 км. Углы падения на крыльях - 20°. Протяженность - около 2 км. Простижение оси - северо-восточное.

К нижнему структурному ярусу кроме вулканогенных пород относятся массивы ульского интрузивного комплекса. Наиболее крупный из них - Орого-Лагтарский, который приурочен к зоне Джунгарско-го глубинного разлома. Он представляет собой типичную щовную интрузию с многочисленными зонами разгнейсований, ориентированными по простирации разлома. Длинные оси Даванаканского, Этукальского и Тамгийского массивов ориентированы в северо-западном направлении. Не исключено, что они приурочены к разрывам, определявшим зону глубинного разлома.

Средний структурный ярус включает мериконскую свиту нижнемелового возраста, тольку кислых андезитов верхнего мела и массивы гранитоидов верхнемелового возраста. Необходимо еще раз подчеркнуть, что в пределах ульского наложенного протока отмеченные породы образуют верхний структурный ярус, но по отношению ко всей территории в целом являются средним структурным ярусом. Средний и нижний структурный ярусы разделены довольно значительным угловым неогластием. Если образование нижнего структурного яруса смыто в складки с преобладающими углами падения пород на крыльях 15-20°, то в пределах распространения толщ конгломератов и кислых андезитов нигде не отмечались углы падения, превышающие 10°, редко 15°.

Породы среднего структурного яруса образуют две довольно крупные брахисинклинали - Бонганскую и Тамгийскую, которые имеют расплющенное ограничение и не наследуют полностью структурный план нижележащих образований.

Бонганская брахисинклиналь расположена в самой юго-западной части описываемой территории. Большая часть ее уходит на запад, за пределы района. Брахисинклиналь имеет овальную форму и вытя-

кута в северо-западном направлении. Ее ширина свыше 10 км. Мощность структуры выполнена конгломератами Мериконской свиты и толщей кисличных эфузивов. Падение пород на крыльях не превышает 10°.

Тамгайская брахисинклиналь, вытянутая в северо-восточном направлении, представлена толщей кисличных эфузивов. Наибольшая ширина структуры более 20 км; протяженность смыте 30 км. Углы на концах крыльев в среднем 10°. Юго-западное и северо-восточное крыло брахисинклинальной структуры осложнены антиклинальными перегибами, в пределах которых выведены на дневную поверхность породы нижнего структурного яруса. К этим же перегибам приурочены массивы гранитоидов позднемелового возраста.

В пространственном расположении позднмеловых интрузий пока можно заметить только одну закономерность; массивы первой фазы внедрения приурочены к осевой части Джульгарского антиклинального поднятия (Баринский) или к его крыльям (Немуйский, Кильский), в то время как массивы второй (основной)-фазы внедрения, такие как Медийский, Барандинский и более мелкие расположаются в пределах Улского наложенного прогиба. Можно думать, что восходящие движения, с которыми, видимо, связано внедрение гранитоидных интрузий, охватили сначала область антиклинального поднятия и лишь потом проявились в пределах Улского наложенного прогиба.

В отличие от нижнего структурного яруса, в пределах брахисинклинальных структур среднего яруса практически не наблюдается расположенных их складок III порядка. Отчасти это, быть может, связано со значительно хуже обнаженностью пород этого яруса. Только в пределах Бонганской брахисинклинали, в междууречье Бургали - Мал. Бонгас намечается небольшая дополнительная синклиналь с размахом крыльев около 1,5 км. Ось этой структуры ориентирована в субширотном направлении, падение пород на крыльях до 10°.

Предджульгарский наложенный прогиб

Северо-западная часть описываемой территории расположена в пределах восточного крыла Предджульгарского наложенного прогиба, выполненного мезо-калинозойскими вулканогенными образованими.

В описываемой части прогиба мощность вулканогенных образований составляет 800-1000 м. В строении вулканогенного комплекса Предджульгарского наложенного прогиба, даже на той небольшой площади, которая подвергалась изучению, четко выделяются два структурных яруса.

Нижний структурный ярус в пределах описанной части прогиба образован эфузивами немуйской свиты, смытыми в пологие складки с углами падения пород на крыльях до 10-25°. Судя по элементам залегания, в самом северо-западном углу территории намечается замыкание небольшой антиклинальной складки.

Верхний структурный ярус (в данном случае он является верхним для всей территории) сложен андезитами Мезачанской свиты палеогена, разрозненные покровы которых залягают практически горизонтально, несогласно перекрывая разновозрастные образования не только нижнего структурного яруса, но и нижнего структурного этажа.

Джульгарское антиклинальное поднятие

Джульгарское антиклинальное поднятие пространственно приурочено к осевой части хребта Джульгар. Оно сопряжено с Предджульгарским и Улским наложенным прогибами и вытянуто в северо-восточном направлении. В седле поднятия обнажаются амортоизиты и гнейсовые плагиограниты нижнего протерозоя, а к юго-восточному крылу приурочены выходы метаморфических пород того же возраста. К этому же крылу поднятия приурочены массивы нижне- и верхнегнейсовых гранитоидов. Северо-западное крыло Джульгарского антиклинального поднятия перекрыто вулканогенными образованиями Предджульгарского наложенного прогиба и полого погружается к северо-западу. Юго-восточное крыло нарушено системой разломов.

Разрывные нарушения

В геологической структуре района значительная роль принадлежит многочисленным разрывным нарушениям. Выше уже упоминалась зона Джульгарского разлома, охватывающая северо-западную часть описанной территории и протягивающаяся далеко за ее пределы.

Заложение разлома произошло еще в нижнем протерозое. К нему приурочены интрузии амортозитов и гнейсовых плагиогранитов нижнего протерозоя, вытянутые согласно простиранию континентальной структуры, а также крупный массив разнозернистых пород и гранитов Улского интрузивного комплекса. В пределах зоны

проявлены процессы динамометаморфизма, выражющиеся в интенсивном разгнейсовании интрузивных пород, рассланцевании метаморфических сланцев лавлинской свиты, появении брекчий трещин, зеркал скольжения и т.д. Верхом, с подвижками по зоне Джульджурского губинного разлома связано формирование Улского и Преддундукского наложенных прогибов.

Большое количество более мелких разрывных нарушений связано с формированием верхнего структурного этажа. Среди них отмечаются нарушения северо-восточного, северо-западного, реже субширотного и субмеридионального пространства. При этом наиболее крупные разрывные нарушения имеют северо-восточное или восток-северо-восточное простирание. Это, например, разрывы, протягивающиеся от верховьев р. Кызыл почти до устья р. Жуте и от верховьев р. Тамгуй до р. Даванакан. Длина их составляет 40 и 25 км соответственно. Протяженность разрывов двух направлений достигает максимально 12-15 км. По своему типу нарушения являются преимущественно сбросами и взбросами. Плоскости смещения обычно крутие от 50-60° до вертикальных. Так, например, в береговых обрывах р. Алучьё неравномерное опускание блока пород немудянской свиты на длиной 240 м по двум вертикальным нарушениям субширотного простирания (азимут простирания 70°) привело к выпаданию пород в нем по сравнению с остальным разрезом на 10-15°. Аналогичные нарушения с амплитудой смещения, не превышающей 30-50 м, наблюдались в береговых обрывах вдоль побережья Охотского моря. Вдоль разломов нередко наблюдаются зоны брекчирования и мицелизации с зеркалами скольжения. Мощность таких зон колеблется от 0,5-10 до 100-150 м, редко более.

Довольно часто подвижки по разрывным нарушениям сопровождаются появлением мелкой складчатости с размахом крыльев от 1-2 до 60 м. Углы падения пород на крыльях таких складок могут достигать 40-50°, реже больше. Складки имеют разнообразную форму: асимметричные, нередко лежачие и отпрокнутые. Их простирания — самых различных направлений. Исключение составляют складки с размаком крыльев в десятки метров, простирание которых обычно совпадает с простиранием разрывных нарушений.

Описываемая система разрывных нарушений формировалась, видимо, на протяжении всего мелового периода одновременно с развитием наложенных прогибов.

ГЕОМОРФОЛОГИЯ

В пределах описываемой территории выделяется пять генетических категорий рельефа: эрозионный со следами нивальной обработки, эрозионно-денудационный, ледниковый, абразионно-аккумулятивный и эрозионно-аккумулятивный.

Эрозионный рельеф со следами нивальной обработки

Ведущую роль в формировании этого рельефа играют флювиальные процессы и склоновая денудация с преобладанием гравитационных процессов. При этом, в зависимости от состава пород, они привели к формированию двух различных морфологических типов рельефа.

Горный резко расчлененный рельеф, развитый преимущественно на эфузивных и осадочно-туфоргенных породах, пользуется наиболее широким распространением в пределах хребта Прибрежный и занимает значительную площадь в северо-западной части территории. Главные водораздельные гребни имеют здесь преобладающую высоту 1000-1200 м при относительных превышениях 300-700 м. Рельеф характеризуется узкими, сложно разветвленными гребнями, круглыми склонами, расщепленными многочисленными распадками и глубоко врезанными долинами. Склоны хребтов ровные или слабоволнистые с многочисленными скальными останцами. Склоны долин и водораздельных гребней на значительной площади покрыты осмыми. В приподнятельной части осмы чаще всего незакрепленные, подвижные, образуют каменные реки и ручьи. В нижних частях склонов осмы задернованы. Реки и ручьи в верховых интенсивно эродируют и имеют глубоко врезанные, узкие V-образные, местами каньонообразные долины. Русла их изобилуют порогами и водопадами. Это особенно типично для рек и ручьев, владающих в море. В среднем и нижнем течении рек долины приобретают трапециoidalную форму. Хребет Прибрежный и его отроги купо обрывают к морю. Береговой уступ энергично абразируется, он осложнен оползнями, овалами; вдоль побережья отмечается оползнями, овалами; вдоль побережья отмечается

Горный массивный рельеф, развитый преимущественно на интрузивных породах, пользуется наибольшим распространением на хребте Джульджур, а также в междуречье Орто-Лантарь и в бассейне р. Медной и характеризуется мягкими очертаниями

Многоводораздельных гребней с относительно небольшой густотой эрозионного расчленения. Преобладающие абсолютные высоты 800–1500 м при относительных превышениях 300–500 до 1000 м. Водоразделия пологовыпуклые и плоские; характерно наличие ленуационных поверхностей выравнивания. Склоны хребта **Джугдук** асимметричные: юго-восточный – крутый ($30\text{--}45^\circ$ и более), северо-западный – пологий.

Юго-восточный склон более **густо и высоко расчленен** долинами рек и ручьев, протекающих в узких **U**-образных, искривленных каньонообразных долинах с водопадами высотой до 6 м и большим количеством скальных останцов и обрывов на склонах. Реки северо-западного склона имеют широкие трапециoidalные долины с выпложенным склонами. Склоны долин и водоразделов часто покрыты осадками, отмечаясь курумы и каменные реки, связанные с солифлюкционными процессами.

Эрозионно-денудационный рельеф

Описываемый рельеф представлен только одним морфологическим типом.

Горный слаборасчлененный рельеф с мягкими очертаниями водоразделов и склонов, развитый преимущественно на интрузионных породах. Полоса его развития наблюдается в **центральной части района** и вытянута в северо-восточном направлении на 30 км при ширине 8–10 км. Абсолютные высоты здесь редко превышают 500 м при относительных превышениях 200–300 м. Склоны водоразделов вибульные или волнистые, крутизной от 3–5 до $10\text{--}15^\circ$. Склоны и седловины местами заболочены. Долины рек преимущественно трапециoidalные, с заболоченной поймой.

Ледниковый рельеф

Ледниковый рельеф представлен экзарационным и аккумулятивным типами.

Троговые долины отмечаются в верховых рек Чукица-Макит, Сельбак, Немуская, Бирания, Мал. Бонгай, Наличия и Медий. Прогиженность их не превышает 1 км, склоны крутизной $40\text{--}45^\circ$, ниже по течению они приобретают **U**-образный характер. В верховых, на высоте 900–1000 м троговые долины переходят в кары. Днища последних плоские или слабовогнутые, иногда ступенчатые, шириной 0,6–1,2 км. Склоны крутизной до $40\text{--}50^\circ$ в верхней части обрывистые, покрыты

осыпями. Днище торгов перекрыто чехлом морены и имеет характерный холмисто-западинный рельеф. Формирование описанных форм происходило, видимо, в эпоху последнего (верхнетретичного) оледенения, о чем свидетельствует их хорошая сохранность.

Абразионно-аккумулятивный рельеф

На всем протяжении береговой линии прослеживается активный абразионный уступ, сложенный скальными породами. Береговая линия изрезана, бухты, как правило, приурочены к устьям рек. Наиболее интенсивно абразионируются участки берега, выступающие в море (со скоростью 1–2 м в несколько лет). К береговому уступу часто прилегает абразионная платформа, однако местами абразионный уступ покрывает море на глубину. Вдоль берега наблюдаются многочисленные подводные и надводные камни.

Пляж отмечается только на отдельных участках в северной части территории (протяженность до 1,5 км) и в устьях рек. Ширина его в отлив 15–30 м, в прилив – 5–10 м, поверхность слабо наклонена в сторону моря ($2\text{--}5^\circ$). У отмелых берегов в устьях рек образуются валы высотой от 3–5 до 10–15 м, при ширине до 20–30 м. На глубину 0,5–3 м пляж разделен руслами рек и ручьев.

Поляса осушки также прерывисты, шириной от 20–30 до 100–200 м, наклонены в сторону моря ($3\text{--}5^\circ$), часто представляет собой абразионную платформу с небольшими блокобразованными понижениями в скальном ложе. Иногда пятнами на ее поверхности отмечается рыхлые отложения, подобные отложениям пляжа.

Эрозионно-аккумулятивный рельеф

К данному рельефу относится серия вложенных террас, возраст которых определяется возрастом аллювиальных отложений. Нижнечетвертичная терраса высотой 100–150 метров наиболее широко развита в долине р. Немуй (снижаясь в ее устье до 40 м), а также отмечается в нижнем течении р. Нуэ. Ширина ее достигает 2 км, поверхность слабоволнистая или пологонаклонная, уступ четкий, крутизной 20–25°. Среднечетвертичная речная терраса отмечается лишь в долинах крупных рек на отдаленных участках длиной 0,5–1 км. Высота ее колеблется от 15–20 до 30 м, ширина – от

нескольких лестничных метров по одному метру. Поверхность террасы пологонаклонная, уступ часто слажен. Верхнечетвертичная речная терраса отмечается в большинстве долин рек и ручьев. Высота ее от 6–8 м в верховьях до 10–12 м в среднем и нижнем течении, ширина до 3 км, поверхность обычно ровная, уступ резкий, часто обрывистый. Пойма развита практически во всех долинах рек и ручьев. Высота ее колеблется от 0,5–0,7 до 3 м. Поверхность поймы иногда осложнена стеригими понижениями, присущими валами и руслами временных проток. Из других аккумулятивных форм можно отметить многочисленные конусы выноса в устьях распадков и временных водотоков, достигающие в высоту 20 м, при длине – 200–300 м и ширине до 50–80 м.

В заключение следует отметить, что на протяжении большей части каньона описываемая территория испытывала более либо меньшее поднятие, продолжавшееся и в настоящее время.

ПОЛЕЗНЫЕ ИСКОПАЕМЫЕ

МЕТАШИСТИЧЕСКИЕ ИСКОПАЕМЫЕ

Ч е р н ы е м е т а л ы

Титан

Металлогеометрическим опробованием на территории листа выделено два металлогеометрических ореола рассеяния титана. Ореол (γ/χ), расположенный в районе между реками Орого – Тутэдак (90 км 2), приурочен к площади распространения нижнепротерозойских амфотитов и гнейсовых шпатогранитов, прорванных нижнелемовыми гранитами. Второй ореол (27) расположен в верховьях р. Джалнак (10–12 км 2). Он приурочен к площади развития осадочно-вулканических образований нижнего мела, прорванных гранодиоритами верхнего мела. Ореолы характеризуются содержанием титана, составляющим от 0,1–0,3 до 1%, против тысячи долей процента, типичных для всего района.

Помимо упомянутых ореолов, шлиховым опробованием установлено почти повсеместное присутствие в современных рыхлых отложениях

х/
х/ Цифрами в скобках обозначены номера на карте полезных ископаемых.

нижних повышенного содержания ильменита. Почти во всех шлиховых пробах содержание его колеблется от единичных знаков до 100 г/м 3 . Ильменит в рыхлых отложениях относительно равномерно распределен по площади и не образует россыпей. Источниками спosa ильменита, видимо, являются основные интрузивные породы нижнего протерозоя, а также диориты, гранодиориты и средние эфузии мезозоя. Помимо ильменита из титановых минералов в шлихах присутствуют единичные залежи титанита и рутила.

Хром

Хромит в рыхлых отложениях распространен повсеместно. Он обнаружен в 250 шлиховых пробах в количестве от 1 до 20 знаков, редко до 5–10 г/м 3 . Хромит образует зерна октаэдрической формы, нередко слегка окатанные. На территории листа хромит может быть связан преимущественно с основными интрузиями нижнего протерозоя и, возможно, с эфузиями среднего состава.

Ц р е т н ы е м е т а л л ы

Медь

М е д н о е р у д о п р о л я в л е н и е в в е р х н е м т е ч е н и и р. Е т а р а (4) находится на левом склоне ее долины. Координаты 55°50' с.ш., 136°08' в.д. Оруденение представлено вкрашенностью (до 20–30%, на площади 25 м 2) пирита, магнетита, ильменита, реже халькопирита с примазками ковелина в метаморфических сланцах нижнего протерозоя, слагающих небольшое, не выражющееся в масштабе карты, тело ксенолита в юго-восточной части интузивного массива сенито-диоритов верхнего мела. Получено качественным спектральным анализом^{х/} в штуцерной пробе установленной (%): медь – 0,01–0,03, титан – 0,1–0,3, никель – 0,003–0,01. Химический анализ^{хх/} другой штуцерной пробы показал (%): содержание меди – 0,01, молибдена и кобальта – 0,001, никеля – 0,003.

^{х/} Полуколичественный спектральный анализ рудных проб здесь и далее выполнен центральной лабораторией ВАГА.

^{хх/} Химический анализ рудных проб здесь и далее выполнен лабораторией ДГУ.

М е л и о е р у д о п р о я з л е н и е в в е р х-
н е м т е ч е н и и р . Е т а р а (14) расположено в осно-
вании левого склона долины. Координаты: $55^{\circ}49'$, с.ш., $136^{\circ}08'$ в.д.
Орудение представлено рассеянной вкрапленностью (4-5%) шарита,
магнетита и халькопирита в ксенолите габбро-норитов в гнейсовых
и платигранитах нижнего протерозоя. Рудный участок имеет фор-
му линзы длиной около 200 м при средней ширине 20-30 м. Подуслон-
ческим спектральным анализом в штучных пробах определены
(в %): медь – 0,003-0,01, титан – от 0,1-0,3 до 1, фосфор – 0,3-
1, цинк – 0,01-0,03. Химическим анализом в других штучных пробах
установлены (в %): медь – 0,003-0,005, цинк – 0,005, никель –
0,001-0,002, свинец, кобальт и молибден – по 0,001.

Описанные рудопроявления находятся в пределах северной ча-
сти крупного металлометрического ореола рассеяния меди со свин-
цом (3), охватывающего район бассейнов рек Етара, Толокачан,
Бургеле и нижнего течения р. Килья (около 200 км²). Ореол харак-
теризуется (в %) содержанием меди от 0,01-0,03 до 0,03-0,3,
реже до 0,3-1 и свинца – 0,001-0,003.

Оба рудопроявления из-за невысокого содержания меди практи-
ческого интереса не представляют, но могут служить указанием на
возможность нахождения в бассейне верхнего течения р. Етара в ана-
логичных или близких геологических условиях проявления с более
интересными концентрациями меди, что подтверждается также нали-
чием здесь металлометрического ореола меди и участков притыза-
ции.

М е л и о е р у д о п р о я з л е н и е в н и ж н е м
т е ч е н и и р . А л у н ь (18) находится в устье правого
притока этой реки, в 4 км восток-юго-восточнее высоты 601 м. Ко-
ординаты: $55^{\circ}44'$, с.ш., $136^{\circ}20'$ в.д. Орудение представлено ред-
кой вкрапленностью шарита, магнетита,ильменита, халькопирита и
гематита на участке неправильной формы площадью 2 м² в турфах
Джелонской свиты в эзоконтактовой зоне и гранодиоритах эндокон-
такта штокогоризонтального тела верхнемелового возраста.
В связи с незначительными размерами рудопроявление практического
интереса не представляет.

Помимо упомянутых рудопроявлений, связанных с коренными по-
родами, выделяются два шлаковых ореола рассеяния халькопирита.
Ореол (20), расположенный в междуречье Даргельды, Мутэ, Могут
(15 км²), приурочен к вулканогенным образованиям немуджанской и
магеланской свит, прорванным гранодиоритовой интрузией. Содержание
халькопирита в шлаках от единичных знаков до 15-20. В отдельных

шлаках присутствует также шелит в количестве от 1 до 5 знаков.
Второй ореол (33), расположенный в бассейне правых притоков верх-
него течения р. Налдинца (15 км²), приурочен к шлакам развития
верхнемеловых гранодиоритов. Содержание халькопирита в шлаках
от 2 до 11 знаков. Зерна уловятые, неправильной формы.

В северо-западной части терригории по левобережью р. Магет
выделяется металлометрический ореол рассеяния меди (1) площастью
60-70 км². Ореол приурочен к вулканогенным образованиям немуд-
жанской свиты, залятым на анортозитах нижнего протерозоя и
местами перекрытым андезитами палеогена (?). Ореол характери-
зуется довольно устойчивым повышенным содержанием меди, состав-
ляющим 0,03-0,1%, реже 0,1-0,3%, против 0,001-0,003%, типичного
для всего района.

Ореол рассеяния меди со свинцом (9) выделен по результатам
металлометрического опробования в бассейне среднего и верхнего
течения рек Этулак и Даванакан (100 км²). Район сложен осадоч-
но-вулканическими образованиями мезозоя, прорванными нижне- и
верхнемеловыми интрузиями. Ореол характеризуется относительно
повышенными содержаниями меди (0,003-0,01%) и свинца (0,001-
0,003%). Источники рассеяния элементов в пределах ореола неиз-
вестны.

Металлометрический ореол рассеяния меди (13) в районе мор-
ского побережья севернее м. Огличительного охватывает участок
площадью 5 км². Участок сложен осадочно-туфогенными и вулкано-
генными породами Джелонской и немуджанской свит. Породы содержат
обычную вкрапленность шарита, интенсивно обожжены и окислены.
Охры развиты как по напластованию пород, так и по трещиноватости
в различных направлениях. Они образуют землистые налеты, короч-
ки, реже настеки и выветры желтого, зеленовато-желтого, бурого,
ржаво-бурового и белого цвета. Спектральный анализ металлометриче-
ских проб из рыхлых образований и коренных пород показал повышен-
ное содержание меди 0,03-0,1%, а также незначительных количеств
цинка, свинца и молибдена.

Свинец

С в и н д о в о е р у д о п р о я з л е н и е в
с р е д н е м т е ч е н и и р . М у т э (21) расположено на
восточном склоне долины р. Мутэ (правый приток р. Мутэ).
Координаты: $55^{\circ}48'$, с.ш., $136^{\circ}40'$ в.д. Орудение представлено

довольно густой (20–30%) вкрапленности шпата, реже галенита в сильно гидротермально-измененных (окварцевание, серпентизация, хлоритизация) осветленных андезитовых порфиритах, туфах и туфо-брекчиях немуйской свиты в экзоконтактовой зоне Бирандинского гранодиоритового массива. В результате сильного окварцевания породы местами превращены во вторичные кварциты. В районерудо-проявления вкрапленные породы интенсивно обогащены. Охры землистые, бурого, ярко-оранжевого, буро-красного, ржаво-бурового, желтого, голубовато-серого и кирпично-красного цвета. Распространение охры на поверхности пятнистое. Размеры отдельных охристых пятен не превышают 2×5 м. Зона интенсивно обожженных город протягивается в субширотном направлении на расстояние свыше 1,5 км, при средней ширине 0,3 км. Спектральным анализом в бороздовой пробе обнаружены (в %): свинец – 0,01–0,03, мышьяк – 0,01–0,1, медь – до 0,01, титан – 1. В ширине от промычки хвостов пробы встречаются 52 зона галенита.

Рудопроявление находится в пределах шлихового ореола рассеяния халькопирита (20). Выявление вкрапленности галенита в коренных породах, участков шприцации, шлихового ореола халькопирита, а также крупной зоны обожженных пород, позволяет считать участок перспективным на выявление более значительных концентраций полиметаллов.

Кроме вышеописанного рудо-проявления в дассейне верхнего и среднего течения р. Кильгы выделяется металлометрический ореол рассеяния свинца (26) площадью около 120 км². Данная площадь сложена осадочно-вулканогенными породами, прорваными гранодиоритами и пегматитами верхнемелового возраста. Содержание свинца в пробах небольшое – от 0,001 до 0,01%.

Металлометрический ореол рассеяния свинца с цинком (10) отмечается в дассейне верхнего течения рек Сивакан, Тамгуй, Лев. Тамгуй (около 50 км²). Район сложен вулканогенными образованиями немуйской свиты и толщи кислых эфузивов, а также гранодиоритами нижнего мела. Ореол характеризуется содержанием свинца от 0,001–0,003 до 0,01%, цинка от 0,001–0,003 до 0,1%.

Полиметаллические руды

Полиметаллическое рудопроявление – Неверхнечерноземный р. Немуйская Биранда (23). Координаты: 55°43' с.ш., 136°31' в.д.

Рудо-проявление расположено в 3 км северо-восточнее высоты 885 м в зоне экзоконтакта гранодиоритового массива, прорывающего освещение, окварцованные туфы и кислые туфоловы верхнего мела. Оруденение представлено (в %) вкрапленностью шпата (85–92), халькопирита (5–10), галенита (1–2) и сфalerита (2–3) с редкими примазками малахита в гидротермально-измененных, местами ожелезненных, туфах и туфолавах. Участок с рудной вкрапленностью имеет линзообразную форму. Длина его 40 м, ширина 2–3 м. Участок прослеживается в субширотном направлении в нижней части речных бетоновых обрывов. Переходы в породы без сульфидной вкрапленности постепенные. В 2 м над указанным участком, на площади 1 м², встречены многочисленные ветвящиеся прожилки кварц-карбонатного состава мощностью до 0,5 см с редкой вкрапленностью галенита и халькопирита. Прожилки пересекают туфы в различных направлениях. Полуколиственным спектральным анализом в штуцерной пробе определены свинец – более 1% и сурьма – 0,03%.

С рудо-проявлением связан шлиховой ореол рассеяния галенита (19) площадью около 15 км². Содержание галенита в шлихах колеблется от 2 до 26 знаков.

Рудо-проявление находится в пределах металлометрического ореола рассеяния меди со свинцом и оловом (22) и к нему примыкает ореол рассеяния мышьяка (24). Первый из них протягивается широкой полосой на юго-восток к устью р. Мута (100 км²). В его пределах обнаружены вулканогенные образования немуйской свиты и толши кислых эфузивов, прорванные верхнемеловой интрузией гранодиоритов. Ореол характеризуется (в %) содержанием свинца – 0,001–0,01, олова – 0,001–0,01 и меди – 0,01–0,3. Металлометрический ореол мышьяка расположен в Меднушье Немуйская Биранда – Биранды (около 15 км²). Ореол находится в пределах верхнелесовой нагрузки гранодиоритов. Содержание мышьяка 0,01%. Помимо него в незначительных количествах присутствуют медь, свинец, серебро и олово. Коренной источник выноса олова в пределах ореола неясен.

Наличие вкрапленности галенита, сфalerита и халькопирита в коренных породах с высоким содержанием свинца, шлихового ореола рассеяния галенита, а также металлометрических ореолов свинца, меди и мышьяка может служить указанием на возможность выявления более интересных проявлений полиметаллических руд.

Медно-никелевые руды

М е д н о - н и к е л е в о е р у д о п р о я з л е н и е в в е р х о в ь я х р. А л у н ь ё (5). Координаты: $55^{\circ}56'$, с.ш., $136^{\circ}16'$, в.д. На участке рудопроявления обильная (до 30–40%) вкрашенность пирита, халькопирита, пентландита и ильменита наблюдалась в сильно окисленных анергозитах нижнего протерозоя, в зоне разрывного нарушения северо-восточного простирания. Рудный участок – неправильной формы площадью порядка $50-80 \text{ м}^2$. Спектральный анализ штучной пробы показал (в %) содержание меди – 0,03–0,1, никеля – 0,03–0,1, кобальта – 0,01–0,03, титана – 0,1–0,3. Рудопроявление не имеет практического значения, но интересно как признак наличия среди анергозитов коренных проявлений медно-никелевого и сульфидно-никелевого орудиенемии.

Б л а т о р о д н ы е м е т а л л ы

Золото

В аллювиальных отложениях района золото встречается очень редко. В количестве 1–2, редко 3 зника оно встречено всего в 45 шликовых пробах, отмытых по долинам рек Немуй, Егара, Этукал, Орого, Мутэ, Авлякан, Килий, Дигтак, Малей, Толтокан, Уладжан и Надицца, где образует зерна несправильной пластинчатой формы с неровной поверхностью, размерами 0,07–0,1 мм. Однако в целом ряде шликовых проб, отобранных из зон широкизами, гидростроек, кварцевых жил и субзензувинных даек, спектрологическим анализом установлено присутствие золота в сотне доли грамма на тонну. Это позволило выделить несколько коренных золотых рудопроявлений без видимого золота.

Р у д о п р о я з л е н и е в н и ж н е м т е ч е н и и р. Д э в а н а к а н (12). Координаты: $55^{\circ}58'$, с.ш., $137^{\circ}12'$, в.д. Угловая вкрашенность пирита и халькопирита наблюдалась здесь в тонких (до 0,5 см) прожилках местами обогащенного кварца, пересекающих в различных направлениях кварцевые диориты нижнего мела. Содержание золота в штучной пробе из кварцевых прожилков 0,06 г/т.

Р у д о п р о я з л е н и е в н и ж н е м т е ч е н и и р. М у т э (8). Рудопроявление расположено в береговом обрыве правого склона долины реки. Координаты: $55^{\circ}53'$, с.ш., $136^{\circ}38'$, в.д. Передробление и окварцовывание гнейсовидные плюнгеры нижнего протерозоя в зоне крупного разрывного нарушения пересекаются в различных направлениях многочисленными прожилками кварца мощностью от 5–7 до 20 см. Кильный кварц молочно-белый, местами окисленный и обожженный с пустотками выщелачивания. Содержание золота в штучной пробе из кильного кварца 0,01 г/т. Химическим анализом в ней установлены медь – 0,002%, свинец, кобальт, никель, молибден и серебро – по 0,001%.

Р у д о п р о я з л е н и е в н и ж н е м т е ч е н и и р. М у т э (25). Координаты: $55^{\circ}43'$, с.ш., $136^{\circ}42'$, в.д. Рудопроявление расположено в нижней части правого склона долины правого близлежащего притока реки. Орудление представлено густой вкрашенностью и гнейзовидными скоплениями зерен пирита в окварцованных турфолавах андезитовых порфиритов немуканской свиты нижнего мела. Содержание золота 0,02 г/т.

Р у д о п р о я з л е н и е в р а й о н е у с т ь я (31). Координаты: $55^{\circ}39'$, с.ш., $138^{\circ}41'$, в.д. Орудение представлено обильной (30%) вкрашенностью пирита на пло-

х/Спектрологометрические анализы прошли в лаборатории ЦГДРИ.

перми порфиритами верхнего мела и очень редко андезитами миоценена.

Последние встречаются лишь по левобережью р.Матей.

М е с т о р о ж д е н и е а н д е з и т о в и х п о р-

Ф и р и т о в в с р е д н е м т е ч е н и и р.Н е м у й (16). Координаты: $55^{\circ}44'$, с.ш., $136^{\circ}14'$, в.д. Месторождение расположено на левоберегье р.Немуй в 3 км на северо-запад от контрольного пункта связи Немуй и связано с ним вычной тропой.

Андезитовые порфириты нижнего мела представляют собой очень крепкие, массивные микрокристаллические породы серого, темно-серого, темно-гелевого цвета. Их физико-технические свойства: объемный вес $2,91 \text{ г}/\text{см}^3$, водопоглощение 0,27%, предел прочности в сухом состоянии $2991 \text{ кт}/\text{см}^2$, в водонасыщении – $2907 \text{ кт}/\text{см}^2$. Ориентировочные запасы андезитовых порфиритов свыше 2 млн.м³.

Обломочно-вулканические породы

Описываемые породы представлены в основном вулканическими туфами верхней юры – нижнего мела, нижнего и верхнего мела, имеющими преобладающее развитие на территории листа. Они легко деструинируются в морских береговых обрывах и нижних речениях рек, впадающих в море.

О б л о м о ч и н е п о р о д

Галечник и гравий

Галька в составе галечниково-валунных и валуно-галечниковых отложений широко распространена в долинах рек, где встречается в отложенных поймы, I и II надпойменных террас (Q_{III} - IV , Q_I). Эти отложения большей частью представлены галькой (35-65%), валунами (25-50%) и песчано-гравийным заполнителем (10-15%). Средние размеры гальки 20-60 мм. Наиболее удобными для разработки являются участки долин в среднем и нижнем течении наиболее крупных рек территории – Немуй, Килья, Магей, Мутэ, где имеются крупные заливы гальки и гравия в руслах.

Песок строительный

Песок имеет значительно меньшее распространение, чем строительные материалы, отмеченные выше.

М е с т о р о ж д е н и е п е с к а в н и ж н е м т е ч е н и и р.Н е м у й (29). Координаты: $55^{\circ}37'$, с.ш., $136^{\circ}25'$, в.д. Месторождение расположено по правоберегью р.Немуй в 8 км выше устья. Песок слагает аккумулятивный чехол надподнижней поклонной террасы высотой до 100-160 м. Песок желтоватый, желтовато-серый, мелко- и среднезернистый, полимиктовый, мало-влажный, рыхкий, неоднородный, водопроницаемый, но практически безводный. Мощность песка около 10 м. Гранулометрический состав и физико-технические свойства песков: песок среднезернистый; содержание песчаных частиц по фракциям (в %): 1-0,5 мм – 3-5, 0,5-0,25 мм – 78-80, 0,25-0,1 мм – 6-12, 0,1-0,05 мм – 3-12; естественная влажность 6,1-16,9%, удельный вес $2,63-2,66 \text{ г}/\text{см}^3$, объемный вес $1,31-1,64 \text{ г}/\text{см}^3$, пористость – 54-63%, коэффициент пористости 1,16-1,71, степень влажности 0,14-0,26, угол естественного откоса в сухом состоянии 34° , под водой – 30° ; песок мелкозернистый, содержание песчаных частиц по фракциям (в %): 1-0,5 мм – 2-6, 0,5-0,25 мм – 4-78, 0,25-0,1 мм – 14-49, 0,1-0,05 мм – 3-20; естественная влажность 5,4-27,5%, удельный вес $2,64-2,75 \text{ г}/\text{см}^3$, объемный вес $1,27-1,42 \text{ г}/\text{см}^3$, пористость 49-62%, коэффициент пористости 0,95-1,64, степень влажности 0,14-0,46, угол естественного откоса в сухом состоянии $30-40^{\circ}$, под водой – $25-28^{\circ}$. Коэффициент фильтрации для обеих разновидностей песков порядка $10-30 \text{ м}/\text{сутки}$. Ориентировочные запасы песков свыше 5 млн.м³. Месторождение связано вычной тропой с устьем реки и контрольным пунктом связи Немуй. Аналогичные пески встречаются также в устье р.Мутэ и других местах.

М е с т о р о ж д е н и е п е с к а в с р е д н е м т е ч е н и и р.Н е м у й (17). Координаты: $55^{\circ}41'$, с.ш., $136^{\circ}15'$, в.д. Месторождение расположено по правоберегью р.Немуй в районе контрольного пункта связи. Здесь среднезернистый песок слагает аккумулятивный чехол надпойменной террасы высотой 8 м.

Этот песок отличается хорошей сортировкой. Его мощность около 8–10 м. Песчаные частицы фракции 0,05–2 мм составляют 48–100%. Шлифованные и глинистые частицы либо отсутствуют, либо не превышают 4–10 %. Крупнообломочные частицы фракции > 2 мм составляют 1–13%, редко до 30%. Среди песчаной фракции преобладают частицы 0,25–0,5 мм, которые составляют 45–88%. Естественная влажность песка 6–48,1%, удельный вес 2,5–2,76 г/см³, объемный вес 1,08–1,77 г/см³, пористость 44–71%, коэффициент пористости 0,79–2,42, степень влажности 0,2–0,49, угол естественного откоса в сухом состоянии 35–39°, под водой – 27–28°, коэффициент фильтрации приблизительно 10–50 м/сутки. Ориентировочные запасы песка 0,6–1,0 млн. м³. Разработку песка можно вести открытым способом. Породы вскрытые практически отсутствуют (мощность до 0,2–0,3 м). Наиболее удобен для разработки песок в районе контрольного пункта Немуй, где он расположен очень низко над дном долины р. Киль.

ОЦЕНКА ПЕРСПЕКТИВ РАЙОНА

Поисковые работы, проведенные на территории листа, позволяют положительно оценить перспективы выявления практически интересных синтетических, полиметаллических, медно-молибденовых и медно-рудопроявлений, генетически связанных с верхнемеловыми интрузиями. Наиболее благоприятным в этом отношении является район Междуречья Мута (среднее течение) – Немуйская выаранда. Прикусение здесь участков широкации, зон интенсивно обожженных пород, выявленных коренных рудопроявлений синтетических и полиметаллических руд (21, 23), шлифовых среолов меди и свинца (19, 20) и металлогидратических среолов свинца, меди и мышьяка (22, 24) обусловливает перспективность этого района для поисков синтетических и полиметаллических руд проявленного и выраженного типов, а возможно, и медногородиритовых руд, в связи с чем указанный район может быть рекомендован для постановки поисковых работ в масштабе 1:50 000. Для поисков практически интересных проявлений медно-молибденовых руд наиболее благоприятным является район Морского побережья между м. Эскан и устьем р. Медля. Здесь выявлена зона интенсивно обожженных пород значительных размеров с многочисленными участками широкации и гидротермально-осветленных пород. В пределах зоны встречено коренное медно-молибденовое рудопроявление (30). Аналогичная зона обожженных пород, но меньших разме-

ров, встречена в приморско-морской полосе к северо-востоку от устья р. Тамгуй. Зону охватывает металлометрический ореол меди (13). В пределах обеих зон также можно рекомендовать постановку поисковых работ масштаба 1:50 000 с целью выявления медно-молибденовых и медных (меднопорфировых) месторождений. Медно-никелевое рудопроявление (5) в анонгозитах нижнего протерозоя, встречающееся в верховых р. Альгуне, не имеет практического значения, но факт его присутствия является поисковым признаком для нахождения оруднения медно-никелевого и сульфидно-никелевого типов в отложенных габбро-анортозитовом интрузивном комплексе нижнего протерозоя.

Не имеет практического значения и встречающиеся медные рудопроявления (4, 14, 18), но наличие, помимо коренных проявлений, шлифовых и металлометрических среолов меди может служить указанием, что на территории листа возможны находки больших контент-районов руд медногородиритового типа.

В целом ряде шлифовых проб, приуроченных к зонам разрывных нарушений, встречаются единичные залежи киновари, появление которых в районе может быть связано с низкотемпературными гидротермальными растворами. Поэтому участки тектонических зон могут оцениваться как перспективные для поисков ртутного оруднения.

Коренные рудопроявления золота, выявленные в районе, также имеют поисковое значение. Они указывают на возможность нахождения в пределах территории листа практически интересных проявлений золота золото-сульфидного и низкотемпературного гидротермального типа. На это указывают и участки сульфидной выщелаченности, гидротермально-измененные и осветленные породы в зонах экзоконтактов нижне- и верхнемеловых интрузий и разрывных нарушений.

В целом ряде металлометрических проб, отобранных в пределах хр. Прибрежного, наряду с медью и свинцом присутствует олово в количествах 0,003–0,001 до 0,001–0,01% /среди 22/. Коренные источники олова не выявлены, но, учитывая приуроченность олова к металлометрическим среолам свинца и меди, можно предполагать, что они могут быть участки сульфидного оруднения, с которыми возможна связь оловянных руд сульфидно-касситеритового типа. Перспективы выявления месторождений титана (ильменита) на территории листа в настоящее время недостаточно ясны. Предыдущими исследователями (Г.И.Краснит, А.А.Люботович и др.) считается наиболее перспективной для выявления месторождений титана площа́дь развития габбро-анортозитов нижнего протерозоя.

Исследованная территория богата запасами почти всех видов строительных материалов, за исключением глин и известняков. Наиболее благоприятными районами для разработки их являются долины рек Немур, Етара, Алунье, Узай, Мутэ и др., а также побережье в устьевых частях рек.

ПОДЗЕМНЫЕ ВОДЫ

Самое широкое распространение в пределах района имеют грунтовые воды террасного типа, прауточные к зоне выветривания эфузивных, вулканогенно-осадочных, интрузивных и метаморфических пород различного возраста. В рыхлых отложениях днищ речных долин заключены грунтовые воды озера Боли. Как особый тип вод, можно отметить террасинно-жильные воды в озере Боли, т. л. о. к. о. п. и. р. к. у. л. я. ч. и., приуроченные к зонам разрывных нарушений. Не исключена также возможность наличия в пределах ульского наложенного профиля террасинно-жильные воды, обладающих напором. Основное питание подземных вод происходит за счет атмосферных осадков, в очень небольшой степени коидесиапионной и ими в озере (на участках развития глыбовых развалов и осипей).

Отмечавшийся в пределах района многолетняя мерзлота носит островной характер и существенного влияния на гидрогеологические условия не оказывает. Однако, по-видимому, на отдельных участках могут быть встречены подземные воды в озере, обладающие некоторым напором.

Горный рельеф, сильная расчлененность территории, крутизна склонов грунтового потока, интенсивная трещиноватость пород в зоне выветривания создает условия быстрого водообмена. Уже вблизи областей питания происходит разгрузка подземных вод в густую сеть распадков и речных долин, что фиксируется многочисленными родниками. Последние наблюдаются в верховых распадков. Как правило, родники эрозионного типа, нисходящие (было встречено всего три восходящих родника). Дебиты их незначительны, порядка 0,01-0,1 л/сек. Лишь в родниках, приуроченных к зонам разрывных нарушений, дебиты повышаются до 1-2 л/сек. Площадь поверхности и полъемного стока в пределах территории развиты грунтовых трещинных вод совпадает. Движение подземных вод направлено в сторо-

ну распадков и долин, а в их пределах соответствует направлению поверхности стока. Глубина залегания грунтовых вод зависит от рельефа и степени трещиноватости пород. В речных долинах зеркало грунтовых вод находится обычно вблизи поверхности, а на склонах и приподнявших участках глубина до воды достигает нескольких десятков метров.

Воды трещиноватой зоны выветривания характеризуются резко переменным режимом, особенно в пределах водораздельных участков. Это выражается в колебании уровня подземных вод, дебетов родников и в целом ресурсов подземных вод. Несколько по иному ведут себя грунтовые воды трещиноватой зоны выветривания в пределах речных долин. Здесь трещиноватая зона обводнена на всю мощность, грунтовые воды аллювиальных отложений днищ речных долин гидравлически связаны с трещинными водами и имеют с ними общий уровень. Колебания последнего незначительны и зависят подземных вод изменился значительно не так во времени, как в пределах горных склонов. Возможные дебиты скважин 0,1-1 л/сек.

Глубина залегания уровня аллювиальных вод колеблется от 0,3 до 3 м при мощности водонесущей толщи от 0,5 до 6 м. Благодаря хорошим фильтрационным свойствам водовмещающих пород, среди которых преобладают вадуно-галечниковые и песчаные отложения, даже при небольшой мощности водонесущего горизонта, вскрытого выработками, вододреники будут значительными (до 5 л/сек).

Как основной тип вод в пределах описываемой территории отмечаются трещинно-жильные воды зон разрывных нарушений. Последние сопровождаются обычно зоной усиленной трещиноватости, к которой и приурочены воды этого типа. Трещинно-жильные воды тесно связаны с водами трещиноватой зоны выветривания, за счет которых и происходит в основном питание описываемых зон. Запасы трещинно-жильных вод зависят, главным образом, от размеров области питания вод той или иной тектонической зоны. Основные запасы приурочены к долинам рек и ручьев. В случаях малых областей питания они ограничены и быстро истощаются. Если же трещинно-жильные воды питаются за счет вод глубокой циркуляции, запасы их более стабильные, а сами воды могут иметь напор. Возможные дебиты скважин, вскрывших зоны тектонических нарушений (заложение в долинах рек), до 3-10 л/сек.

Подземные воды описываемой территории по химическому составу преимущественно гидрокарбонатные, ультратресные, с минерализацией до 100 мг/л. На этом фоне выделяются участки смешанных вод —

тирокарбонатно-хлоридных и хлоридно-тирокарбонатных. Прячущиеся они к бассейнам нижних течений рек Мута, Немудь, Бонгай, Этукаль, Деванакан. Объясняется их появление тем, что волны моря в формировании химического состава вод принимают участие морские соли, вносимые на суши с мельчайшими капельками морской воды, увлекаемой ветрами и туманами. Однако влияние моря распространяется всего на 10-20 км в глубь материка.

Как особенность района, следует отметить присутствие на отдельных участках в подземных водах сульфатов в количестве более 10 мг/экв, а в двух случаях и собственно сульфатных вод. На правобережье р.Мута, в бассейне ее среднего течения, выходы подземных вод сопровождаются выделением сероводорода.

Катионный состав подземных вод натриевый, реже натриево-кальциевый. На некоторых участках в водах отмечается закисное железо (до 6-8 мг/л). Присутствие сульфатов и железа объясняется близостью многочисленных рудодроядий, в пределах которых воды характеризуются несколько повышенной (относительно фоновой) минерализацией (до 122-225 мг/л) и кислотой реакции ($\text{pH} < 5$). В целом подземные воды всех одробованых водоисточников (150) состоятся по генезису к типу инфильтрационных вод выщелачивания и по своим качествам вполне могут быть использованы для питья и хозяйственных целей.

ЛИТЕРАТУРА

О П У Б Л И К О В А Н Н А Я

- Б о т д а н о в и ч К.И. Очерк деятельности Охотско-Камчатской горной экспедиции 1895-1898 гг. - Изв.ИРГО, т.ХХХV, Вып.6, Спб., 1899.
- Б о т д а н о в и ч К.И. Геологический очерк западного побережья Охотского моря от Николаевска-на-Амуре до Охотска. - В кн.: Памяти Мушкетова. Спб., 1905.
- В а х р а м е е в В.А. Стратиграфия юрских и нижнемеловых континентальных отложений Восточной Сибири и Дальнего Востока по данным палеоботаники. - Сов.геология, 1960, № 7.
- Д з е в а н о в с к и й Ю.К. Геология восточной части Амурской плиты. - Матер. по геол. и пол.искл. Вост.Сибири, вып. 19, изл.ВСГУ, Иркутск, 1946.

Д з е в а н о в с к и й Ю.К. Амурская плита. Сб.всесоюз. по региональной геологии, № 9, 1948.

З у б к о в В.Ф. Государственная геологическая карта СССР масштаба 1:200 000, лист №-53-ГУ. Госгеотехиздат, 1962.

К о р о л е в Г.Г. Новые данные о стратиграфии и тектонике мезозоя Уссурийского прогиба (Дальний Восток). - ДАН СССР, т.159, № 2, 1964.

К р а с н и й Д.И. Государственная геологическая карта СССР масштаба 1:1 000 000, лист №-53 (Шантарские острова). Госгеолтехиздат, 1955.

К р а с н и й Л.И. Геология и полезные ископаемые Западно-Приокотья. Госгеолтехиздат, 1960.

Л е б е д е в А.П., П а в л о в Н.В. Джульбарский анортозитовый массив. - Тр. ИГЕМ АН СССР, вып.15, М., 1957.

Л е о н т о в и ч А.А. Геологические исследования в Аянско-Майском районе. - Матер. по геол. и пол.искл. Дальневосточного края, вып.18, Хабаровск, 1937.

М е л ь н и к о в М.П. Описание Якутской экспедиции 1851 г. покойного горного инженера Н.Г.Меглинского. - ГОРН.ЖURN., 1893, № 7, 8.

М о ш к и н В.Н. Схема стратиграфии докембрия зоны Станови-ка-Джунгари.- В кн.: Геологическое строение СССР, т.1, 1958.

М о ш к и н В.Н. Схема стратиграфии докембрия Уссурийского района. - Инф. со.всеси., № 6, 1959.

М о ш к и н В.Н. Новые данные по стратиграфии докембрия Уссурийского района. - Сов.геология, 1960, № 6.

Н а т и б и н а М.С. Тектоника имагматизм Монголо-Охотского пояса. - Изд.АН СССР, М., 1963.

Т у г а р и н о в А.И., С т у п н и к о в а Н.И., З и-
ко в С.И. К геохронологии юга Сибирской платформы. - Изв. АН СССР, сер.геол., № 1, 1965.

У с т и н е в Е.К. Охотский тектоно-магматический пояс и некоторые связанные с ним проблемы. - Сов.геология, 1959, № 3.

Ч е м е к о в Ю.Ф. Геоморфология Приамурия и смежных территорий. Госгеолтехиздат, 1960.

Ф о н д о в а я х /

А н т о н о в К.В. Геологическое строение западного побережья Охотского моря в районе порта Аян. 1937.

Х/Материалы хранятся в фондах ДГУ.

Т о л ь д е н б е р г В.И., Н е в о л и н Б.С. Геологическое строение бассейнов рек Батомга, Марей и Цагмар (отчет о работе партии № 3 за 1957 г.). 1958.

Т о л ь д е н б е р г В.И., Н е в о л и н Б.С. Геологическое строение листа 0-53-ХХХII и частей листов 0-53-ХХХ и 0-53-ХХХ. 1959.

К л ю ч а н с к и й Г.Г. Отчет о геологоподсековых работах на россыпное золото, проведенных в 1950 г. Кирсанской геологоподсековой партией в бассейне р.Киран (вто-западное побережье Охотского моря). 1953.

К р а с н и к Л.И., Ч е м е к о в Ю.Ф. Геология, геоморфология и полезные искональе вто-западной части Прибайкальского хребта. 1952.

Л е о н т о в и ч А.А. Отчет о геологических исследованиях в Алано-Майском районе в 1933-1934 гг. (район среднего течения р.Мая и пересечения хр.Джуулур). 1935.

Л е о н т о в и ч А.А., Р а к о в Н.А. Основные черты геологии и металлогении центральной части хр.Джуулур. 1940.

Л о с е в А.Г., К о г е н В.С. и др. Геологическое строение бассейна среднего и нижнего течения р.Маймакан. 1958.

М о ш к и н В.И. и др. Геологическое строение и полезные искональе бассейнов рек Ульхин и верхнего течения Мая-Половиной. 1956.

М о ш к и н В.Н. Новые данные по стратиграфии докембрия Улук-Зейского района. 1959.

М у х о м о р И.К. Геологическое строение бассейна р.Мати. Фонды СВГУ, 1946.

Р а к о в Н.А., Л е в ч е н к о В.А. Геологическое строение бассейнов рек Девны, Немерикана и Мая-Половинной. 1954.

С т а в п е в Н.А., Г а в р и л о в З.С. Геологическое строение бассейна среднего и нижнего течения р.Батомги. 1954.

С т а в п е в Н.А., Т а р х о в а М.А. и др. Геологическое строение бассейна верхнего течения р.Сев.Ур. 1960.

С т е п а н ъ к о в Л.С. Геологическое строение верховьев р.Ульбей. Фонды СВГУ, 1945.

Т р и ф о н о в Н.К. Геологическое исследование на западном побережье Охотского моря между реками Салгат и Укой. 1938.

Х е р у в и м о в Е.Г., Л а р и о н о в В.А., М о р а в Восточной части Алданского штата (ВАГТ, Алданская экспедиция) № 2). 1957.

Ч е р н я в с к и й В.И., К а р а у л о в В.Б. и др. Теология, полезные воды и полезные искональе западного и северо-западного побережья Усной губы (лист №-53-Х). 1961.

Ч е р н я в с к и й В.И., Л е в и т а н Т.М. и др. Геологическое строение и полезные искональе западного побережья Охотского моря между мысами Маджалинда и Борисова (центральные части хребтов Джуулур и Присречный, листы №-53-У, УЛ и материальная часть листа №-53-Х). 1965.

Ш п а к Н.С., А р к у с И.Г. Геологическое строение бассейна верхнего течения р.Учур. 1958.

Приложение 1

СИСТОМКА МАТЕРИАЛОВ, ИСПОЛЬЗОВАННЫХ ДЛЯ СОСТАВЛЕНИЯ КАРТЫ ПОЛЕЗНЫХ ИСКОПАЕМЫХ МАСШТАБА

1:200 000

# п/п	Фамилия и инициалы автора	Название работы	Год со-ставления или издания	Местонахождение материала, его полный номер или место изложения
1.	Чернянский В.И., Левитин Г.М. и др.	Геологическое строение и полезные ископаемые западного побережья Охотского моря между мысами Малмыжка и Борисова (Центральные части хребтов Джурул и Приоремий)	1965	Объединение "Гидроспецгеология". Москва, 0463

Приложение 2

СИСТОМКА ПРОМЫШЛЕННЫХ МЕСТОРОЖДЕНИЙ ПОЛЕЗНЫХ ИСКОПАЕМЫХ, ПОКАЗАННЫХ НА ЛИСТЕ №53-УГ КАРТЫ ПОЛЕЗНЫХ ИСКОПАЕМЫХ МАСШТАБА 1:200 000

# клетки по карте	Наименование месторождения и вид полезного ископаемого	Состояние горючесынх (К - экскавационное, Р - дробление)	Тип месторождения (К - коренное, Р - дробление)	№ исполь-зуемого материала по списку (прилож.)
28	III-2 р.Немуй	Не экспортируется	К	I
15	II-1 р.Етара	То же	К	I
6	I-2 р.Альчук	"	К	I
16	II-1 р.Немуй	"	К	I
29	III-2 р.Немуй	Не экспортируется	P	I
17	II-1 р.Немуй	То же	P	I

Приложение 3

СПИСОК ПРОЯВЛЕНИЙ ПОЛЕЗНЫХ ИСКОПАЕМЫХ, ПОКАЗАННЫХ
НА ЛИСТЕ №-53-У, УГЛ КАРТЫ ПОЛЕЗНЫХ ИСКОПАЕМЫХ
МАСШТАБА 1:200 000

	1	2	3	4	5
20	II-3	Междуречье Пар-гельды-Муга-Могун			I
33	IV-1	р.Налында			I
I	I-1	р.Марет			I
I	2	Индекс кластера на карте	Наименование (местонахождение) проявления и вид полезного иско-паемого	Характеристика проявления	# исполь- зование материала по списку (прилож.)
7	I-2	Междуречье Орото - Тутэдэк	Металлометрический ореол рассеяния	I	I-4
27	III-1	р.Джигак	Металлометрический ореол рассеяния	I	I-1
		Ц в е т н ы е м е т а л ы			
		Медь			
4	I-1	р.Багра	Вкрапленность халькопирита, пирита, магнетита, ильменита, ковеллина в ксенолите метаморфических сланцев	I	19
14	II-1	р.Багра	Вкрапленность халькопирита, пирита, магнетита, ильменита в ксенолите габро-норитов	I	10
18	II-2	р.Алчунье	Редкая вкрапленность халькопирита, пирита, магнетита, ильменита и гематита в туфах	I	26
		Полиметаллические руды			
		Р.Немүйская	Вкрапленность пирита, халькопирита, гематита и сфalerита с редкими примазками малахита и промелки кварц-карбонатного со-	I	23

1	2	3	4	5
5	I-2	р.Алунье	Медно-никелевые руды	Вкрашенность широкими полосами с редкой вкрапленностью пентадимита и халькопирита в кислых эидитовых зонах
32	III-3	р.Немудь	Медь, молибден	Редкая вкрашенность золотоносного пирита в даике дацитовых пород
24	II-3	Междуречье Немудь-Скальская Баранда	Золото	Вкрашенность широкими полосами с редкой вкрапленностью пирита в даике дацитовых пород
2	I-1	р.Малей	Пирит, халькопирит, малахит, промазки, корочки	Вкрашенность широкими полосами с редкой вкрапленностью пирита в даике дацитовых пород
11	I-5	р.Дэванакан	Золото	Вкрашенность широкими полосами с редкой вкрапленностью пирита в даике дацитовых пород
12	I-5	р.Дэванакан	Пирит, халькопирит, малахит, промазки, корочки	Вкрашенность широкими полосами с редкой вкрапленностью пирита в даике дацитовых пород
8	I-3	р.Мутэ	Пирит, халькопирит, малахит, промазки, корочки	Вкрашенность широкими полосами с редкой вкрапленностью пирита в даике дацитовых пород
25	II-3	р.Мутэ в нижнем течении	Пирит, халькопирит, малахит, промазки, корочки	Вкрашенность широкими полосами с редкой вкрапленностью пирита в даике дацитовых пород
31	III-3	Район устья р.Мутэ	Пирит, халькопирит, малахит, промазки, корочки	Вкрашенность широкими полосами с редкой вкрапленностью пирита в даике дацитовых пород

В брошюре пронумеровано 96-стр.

Редактор Н.С.Михеенкова
Технический редактор С.К.Леонова
Корректор Г.А.Ушакова

Сдано в печать 20.12.78.
Подписано к печати 15.02.83.
Тираж 198 экз. Формат 60x90/16 Печ.л.6,0 Заказ 628 с

Центральное специализированное производственное химическое предприятие
объединения "СоягеоМонд"